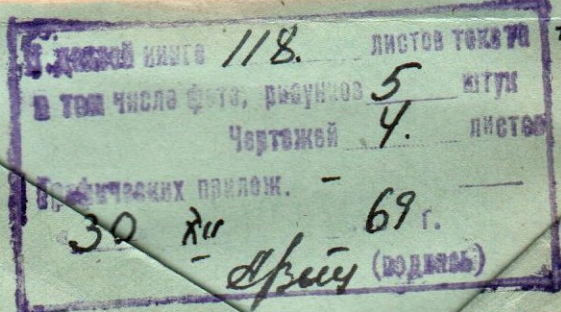


01118  
7 fm

01118

Софукашев  
Э. Н.

Сб. № 1. Актуария, прп.  
по рабочим за-  
1852-54 гг.



+31.



2 км.

Uex. N 510ee

24/V 1955.

PPP

секретно

Экз. № 2

МИНИСТЕРСТВО ГЕОЛОГИИ И ОХРАНЫ НЕДР СССР  
ПЕРВОЕ ГЛАВНОЕ ГЕОЛОГОРАЗВЕДОЧНОЕ УПРАВЛЕНИЕ

Громовская экспедиция

Саруханин Э.Л.

СВОДНЫЙ ОТЧЕТ

Амударской поисково-разведочной партии  
по работам за 1952-54 г.г.

Часть 1



Начальник Громовской  
экспедиции

*Кошман* /Кошман В.Е./

Главный инженер экс-  
педиции

*А.Кочарян* /Кочарян А.Е./

1955 г.  
гор. Ереван

## О ГЛАВЛЕНИЕ

	Стр.
Аннотация . . . . .	4
Часть Первая. Глава I. Общие сведения об Амударском урано-ториевом проявлении и районе . . . . .	7
1. Введение . . . . .	7
2. Географическое положение Амударского рудопоявления и экономическая характеристика района . . . . .	12
3. Орография и гидрография района . . . . .	15
4. История исследования района и Амударского рудопоявления урана . . . . .	16
Глава II. Краткая геологическая характеристика Азизбековского района . . . . .	20
1. Вулканогенно-осадочные породы . . . . .	20
2. Интрузивные породы . . . . .	24
3. Тектоника . . . . .	27
4. Основные черты метаморфизма района	29
Глава III. Геологическая характеристика Амударского урано-ториевого проявления . . . . .	30
1. Геологическое строение участка Амударского рудопоявления . . . . .	30
2. Структурная характеристика Амударского рудопоявления . . . . .	39
Глава IV. Методика полевых геолого-геофизических работ . . . . .	42
А. Поисково-разведочные работы . . . . .	42
Б. Методика геофизических работ . . . . .	49
В. Радиогидрогеологические исследования вод . . . . .	55
Г. Лабораторные работы . . . . .	56

Глава У. Результаты геолого-геофизических работ, проведенных на Амурасском рудопроявлении за 1952-54 г.г. . . . .	59
А. Результаты геофизических работ на Центральном участке рудопроявления . . . . .	59
1. Гамма-с'емка . . . . .	59
2. Эманационная с'емка . . . . .	64
3. Уранометрическая с'емка . . . . .	69
4. Люминесцентные исследования . . . . .	69
5. Лабораторные работы . . . . .	71
6. Результаты радиогидрогеологических исследований Амурасского рудопроявления . . . . .	74
Г. Описание ураноносных и ториеносных участков . . . . .	76
Д. Участок "Северной" радоновой аномалии	83
Е. Результаты поисковых работ в районе, прилежащем к Амурасскому урано-ториевому проявлению . . . . .	84
И. Локализация оруденения, вещественный состав руд и соображения о генезисе Амурасского рудопроявления . . . . .	93
Глава У1. Основные выводы и направление дальнейших работ . . . . .	107
Основные технико-экономические показатели	112
Л и т е р а т у р а . . . . .	114
Список рисунков в тексте . . . . .	116
Список графических приложений . . . . .	117

-:-:-:-:-:-:-

## АННОТАЦИЯ

Сводный отчет Амулсарской поисково-разведочной партии по работам 1952-1954 г.г. представляется на 18 листах с графическими и текстовыми приложениями (автор отчета Саруханян Э.Л.)

1. Отчет представляет собой обобщение результатов поисково-разведочных и геолого-геофизических работ, проведенных Громовской экспедицией на Амулсарском урано-ториевом проявлении в течение 1952-54 г.г.
2. Амулсарское рудопроявление находится в Азизбековском районе Армянской ССР, в 12 км, по грунтовой дороге, от шоссейной магистрали Ереван-Джермук.
3. В отчете приводятся и результаты поисковых работ в прилежащем к Амулсарскому рудопроявлению районе, а также данные по проверке аэrorадиометрических аномалий.
4. Рудное поле Амулсарского проявления сложено интрузивными породами - порфировидные гранитаплиты и кварцевые монцониты, порфиритами, вторичными кварцитами и четвертичными эфузивными образованиями.
5. Тектонические структуры Амулсарского рудопроявления представлены разрывами нарушенными следующих трех основных систем:
  1. Северо-западные нарушения ( $290-340^{\circ}$ ) с падением на ЮЗ под углом  $50-80^{\circ}$ .
  2. Северо-восточные нарушения ( $20-60^{\circ}$ ) с падением на СЗ под углом  $50-70^{\circ}$ .
  3. Вто-западные нарушения ( $200-240^{\circ}$ ) с падением на

СВ под углом 30-80°.

Из указанных трех систем нарушений наиболее мощными и выдержаными являются северо-западные нарушения.

6. Рудовмещающей средой на проявлении являются порфировидные гранитаплиты.

7. Оруденение фиксируется на Центральном участке Амурского рудопроявления и представлено смешанными урано-ториевыми рудами.

8. Руды выражены вторичной урановой минерализацией — отенит, метаторбернит и торбернит, вторичной уран содержащей ториевой минерализацией, неустановленного состава, и рассеянными ураном, торием и радием.

9. Минерализованные участки изучались на глубину горными выработками тяжелого типа и буровыми скважинами, при этом произведенными работами первичных урановых или ториевых руд на рудопроявлении установлено не было.

10. Определенного структурного контроля в локализации вторичных урано-ториевых руд на рудопроявлении не наблюдается.

Вторичная урано-ториевая минерализация распространяется по микропорам пород и мелким и крупным трещинам любых направлений на отдельных небольших разобщенных участках.

11. Кондиционные содержания урано-ториевых руд выдерживаются на отдельных небольших участках и в отношении промышленного использования разведанные руды Амурсар-

ского рудообразования не представляют интереса.

12. На данной стадии изученности Амурского рудообразования не получена необходимого фактического материала для выяснения характера первичных руд, давших вторичную урано-ториевую минерализацию, и их генезиса.

Автор приводит два возможных варианта генезиса первичных руд - магматический и гидротермальный.

13. В заключение автор предлагает для выяснения генезиса первичных руд и обнаружения их промышленного скопления провести детальную глубинную разведку как Центрального участка, так и его периферии, перекрытой четвертичными лавами и шлаками.

## ЧАСТЬ ПЕРВАЯ

---

### ГЛАВА 1. ОБЩИЕ СВЕДЕНИЯ ОБ АМУЛСАРСКОМ УРАНО- ТОРИЕВОМ ПРОЯВЛЕНИИ И РАЙОНЕ

---

#### 1. Введение

В 1951 г. в Азизбековском районе Армянской ССР в районе г. Амулсар (Кисыр-Даг) при попутных поисках Никопольской геолого-съемочной партией Армгеэзуправления была отмечена точка с повышенной гамма-активностью.

По данным химанализа, произведенного в Громовской экспедиции, одна из штуковых проб участка показала до 0,01% урана, а в минералогической лаборатории экспедиции в штуфе было установлено наличие редких мелких зерен стениита.

На основании этого Амулсарское рудопроявление было включено в план работы Центральной ревизионной партии Громовской экспедиции на 1952 год.

В результате поисково-разведочных работ Юного отряда указанной партии, в 1952 г. на Амулсарском рудопроявлении были обнаружены участки с высокой гамма-активностью пород и содержанием богатой минерализации урановых слюдок (стениит, метаторбернит, торбернит).

Работами 1952 года был оконтурен наиболее интересный участок уранового проявления, расположившийся на площади около 200 м вдоль ручья "Лагерный" и на 150 м вверх

по правому (восточному) склону.

Для изучения этого участка на глубину был пройден ряд выработок легкого типа, буровые скважины и начата проходка штолен № 1,2,3 и 4.

Положительные данные, полученные в результате работ 1952 г., послужили основанием для создания на базе результатов работ Южного отряда Амурской партии и проведения на рудопроявлении значительного объема геолого-геофизических, горнопроходческих и буровых работ, целевое назначение которых заключалось в "Выявление промышленных руд урана на Амурском рудопроявлении и его промышленная оценка с подсчетом запасов по категориям "С" и "С<sub>2</sub>" и поиски промышленных месторождений урана в прилегающем к Амурскому рудопроявлению районе с оценкой перспектив его ураноносности".

В соответствии с проектом работ и приведенным целевым заданием наибольшее внимание было удалено Центральному участку Амурского рудопроявления, где и был сосредоточен основной объем работ партии.

Преверка участка "Северной" радионовой аномалии Амурского рудопроявления на глубину была произведена квершлагом № 2 штольни № 4 и буровыми скважинами № 4 и 5. В окружающем же Амурское проявление районе были проведены поисковые работы в масштабе 1:50000 с детализацией отдельных аномальных участков в масштабе 1:10000, и небольшой объем горных работ легкого типа.

На Центральном участке рудопроявления, наряду с геолого-геофизическими исследованиями на поверхности, проходились горные выработки тяжелого типа и буровые скважины.

Горные выработки тяжелого типа (штолни, штреки, рассечки) проходились с целью вскрытия и прослеживания на гипсометрически низких горизонтах участков с вторичными урановыми минералами, выявленные на поверхности, и обнаружения новых участков, а также с целью определения закономерностей в характере распределения вторичных минералов урана .

Буровые скважины проходились с поверхности для подсечения вышеуказанных участков на глубине и выявления возможных первичных руд урана , приуроченных к локальным структурам.

Указанные выше поисково-разведочные и геолого-геофизические работы на Амулсарском рудопроявлении в течение 1952-1954 г.г. проводились Юким отрядом Центральной партии (в 1952 г.), а затем Амулсарской партией (с 1953 г.) в составе следующих руководящих и инженерно-технических работников:

Годы	Должность	Фамилия и инициалы
1952	нач.отряда	Ахвердян Б.Г.
	геолог	Адамян Э.А.
	геолог	Атоян Р.С.
	геолог с 1/УШ-52г.	Казарян М.М.

	геолог с 1Х-1952 г.	Саруханян Э.Л.
	техник-геофизик, и.о. ст.геофизика	Оганесян Э.А.
1953	нач.партии	Ахвердян Б.Г.
	ст.геолог	Саруханян Э.Л.
	геолог	Оганесян М.Д.
	геолог	Казарян М.М.
	геолог	Атоян Р.С.
	техник-геофизик, и.о.ст.гео- физика до 1Х-1953 г.	Оганесян Э.А.
	техник-геофизик, и.о.ст.гео- физика с 1Х 1953 г.	Симонян Р.С.
1954	нач.партии	Ахвердян Б.Г.
	ст.геолог	Саруханян Э.Л.
	геолог с 1-УШ 1954 г.	Казарян М.М.
	техник-геофизик, и.о.ст. геофизика	Симонян Р.С.

В камеральных работах по составлению данного отчета принимала участие бригада в составе: ст.геолога и и.о.ст. геофизика партии. Ответственным руководителем по составлению настоящего сводного отчета является ст.геолог партии Саруханян Э.Л.

В составлении раздела "Оруденение и его локализация" непосредственное участие принимала зав.минералогической лаборатории Громовской экспедиции Рудницкая Л.С.

При проведении в партии геофизических работ, а также при составлении соответствующего раздела данного отчета практические указания были получены от старшего геофизика Громовской экспедиции Панцулая В.В.

Партия пользовалась также регулярной административной и технической помощью руководства экспедиции - начальника тов. Кошмана В.Е., главного геолога тов. Кочаряна А.Е. и зам. начальника по политчасти тов. Саркисяна Г.Г.

Большую помощь в работе Амурской партии оказал Главк путем неоднократных посещений партии комиссиями в составе: т.т. Королева И.И., Мелкова В.Г., Саакяна Н.С., Титовой Н.А. и Вильянова Н.В., благодаря которой уточнялось дальнейшее направление работ на рудопроявлениях и повышалось их качество.

Объем выполненных работ и количество затрат по Амурскому рудопроявлению за период с 1952 по 1954 год приводятся в нижеследующей таблице (см.табл. II на стр.

)

Производство работ на рудопроявлении в значительной степени осложнялось в связи с тяжелыми климатическими условиями района.

В результате проведенных работ приходим к заключению, что изученные горизонты Центрального участка Амурского рудопроявления содержат лишь непромышленное, смешанное урано-ториевое оруденение и не заслуживает дальнейшего проведения здесь горнопроходческих работ.

Таблица № 1

№ пп	Наименование работ	Ед. изм.	Годы			Итого	
			1952	1953	1954		
1.	Затраты . . . . .	т.р.	1222,9	3763,8	633,8	5620,0	
2.	Штольни мех.проход. сеч.5,2 м <sup>2</sup>	п/м	-	628,2	-	628,2	
3.	-" " 3,6 "	"	343	1046,4	186,7	1576,1	
4.	-" " руч.проход. сеч.3,6 м <sup>2</sup>	"	237,5	-	-	237,5	
5.	Мех.колонки бурение поверхн.	"	239,1	790,1	308	1337,2	
6.	Пуэрты глуб.до 10 м	"	290,9	102,5	-	393,4	
7.	Канавы	м <sup>3</sup>	1367,6	796	-	2163,6	
8.	Крепление штолен сеч. 5,2 м <sup>2</sup>	шт/м	-	442	-	442	
9.	-" 3,6 "	"	195	489	82	766	
10.	-" 2,7 "	"	-	-	12,0	12,0	
11.	-" шурфов	"	70	-	-	70	
12.	Опробование борозд. пр.	пр.	410	536	16	962	
13.	-" вод	пр.	162	101	-	263	
14.	Профилиров.поисков. точ.11850		18918	1500	32268		
15.	-" детальны.	"	4500	4500	700	9700	
16.	-" подземн.	"	6280	20002	2000	28232	
17.	Эманацион.с'емка	"	24940	36790	-	61730	
18.	Металлодетр. "	пр.	-	1200	-	1200	
19.	Маркшейдер.	"	п/м	-	1676	200	1876
20.	Наду инструм.	"	км <sup>2</sup>	5	-	-	5
21.	Геодетич.-стр.ктуры. с'емка м.1:2000	"	-	2	-	2	
22.	Топо с'емка м.1:2000	"	1,25	-	-	1,25	
23.	Поиски м.1:50000	"	40	255	-	295	
24.	" м.1:10000	"	-	3	-	3	
25.	Поиски м.1:5000	"	4,8	-	-	4,8	
26.	Минералогич.исслед.	%	-	-	100	100	
27.	Полев.лабор.работы	"	100	100	100	100	
28.	Опробован.карта	"	4	-	100	100	
29.	Сооружен.утепл.шланг шт.	"	-	2	-	2	
30.	" неутепл. "	"	2	-	-	2	
31.	Переноска шланг	"	-	3	2	5	
32.	Планировка плоц.	м <sup>3</sup>	-	120	-	120	
33.	Настыль рельс.путей	п/м	701	701	700	1401	
34.	Провод.водопр.труб	"	-	1300	-	1300	
35.	Сооружен.бассейна	"	-	4	-	4	
36.	Устан.финск.домик.	дом	6	-	-	6	
37.	Стр.по пекарии	м <sup>3</sup>	-	75	-	75	
38.	Стр.депо зерноз.	"	-	25	-	25	
39.	Стр.по компрессорн.	"	100	200	-	300	
40.	-" навеса	шт.	-	150	-	150	
41.	-" земляной	"	-	4	-	4	
42.	Стр.здан.под контор.	"	-	460	-	460	
43.	" склада продов.	"	-	200	-	200	
44.	" " ИВ	"	75	-	-	75	
45.	Стр.по баня	"	-	60	-	60	
46.	" столов.и клуба	"	-	180	-	180	
47.	Сооружение моста	%	-	100	-	100	
48.	Пров.электролинии	п/м	-	1500	-	1500	
49.	Стр.времен.дороги	"	2000	400	-	2400	
50.	Ремонт дороги	км	1,7	9,0	-	10,7	
51.	Ревизия месторожд.	м-й	7	-	-	7	

2. Географическое положение Амулсарского рудопроявления и экономическая характеристика района

Амулсарское рудопроявление расположено в 4,5-5 км к ЮВ  $130^{\circ}$  от сел.Кечут (Куши) Азизбековского района Армянской ССР и в 5,0-5,5 км к СЗ  $345^{\circ}$  от вершины гор. Амулсар (Кызыр-Даг).

Географическое положение рудопроявления определяется координатами:  $36^{\circ}46'00''$ - $36^{\circ}46'30''$  с.ш. и  $45^{\circ}42'30''$ - $45^{\circ}43'30''$  в.д. от Гринвича (рис. II).

Проявление находится в 120 км от ближайшей станции Норашен Закавказской железной дороги.

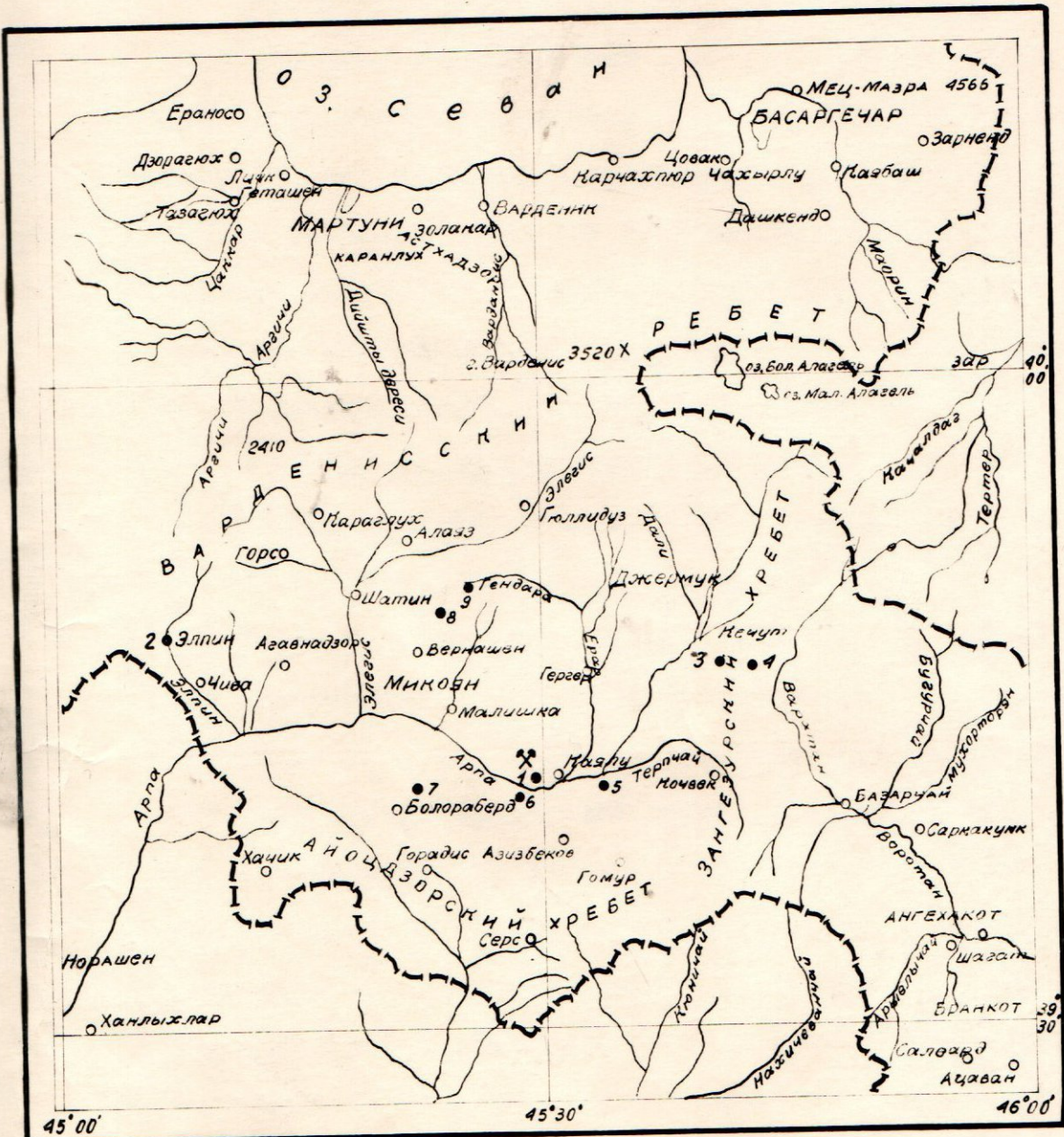
В связи с развертыванием работ на Амулсарском рудопроявлении возникла необходимость в капитальном ремонте неблагоустроенной арбной дороги, непригодной для автотранспорта, ведущей из сел.Кечут в сел.Базарчай, протяженностью 3 км, строительстве новой грунтовой дороги до участка работ, длиной 3 км и строительстве моста через р.Ариа у сел.Кечут.

Таким образом, в настоящее время рудопроявление грунтовой дорогой связано с сел.Кечут, в 0,5 км к западу от которого проходит шоссейная магистраль, ведущая из курорта Джермук в гор. Ереван.

Район заселен слабо. Ближайшими населенными пунктами являются сел.Кечут, Гидеваз и курорт Джермук; последний в настоящее время приобретает большое общесоюзное значение.

**Обзорная карта  
Юго-восточной части Арм. ССР.**

Масштаб 1:600000  
КМ 0 6 12 18 24 км.



Условные знаки

- 1 Каялинское рудопроявление
- 2 Элгинское " "
- 3 Амулсарское " "
- 4 Гюмчуканское месторождение
- 5 Чирххлинское "
- 6 Азатекское "
- 7 Енгиджинское "
- 8 Вернашенское "
- 9 Газминское "

Других населенных пунктов, за исключением не- скольких летних скотоводческих ферм, поблизости нет.

Слабая заселенность района об'ясняется значительными высотами и отсутствием пригодных для сельского хозяйства земель. Население района в основном армянское, в меньшей степени азербайджанское. Основным занятием населения являются земледелие и скотоводство. Колхозы населенных пунктов, а также курорт Джермук обеспеченны электроэнергией, получаемой от Джермукской гидроэлектростанции, мощностью 250 квт.

В районе рудопроявления имеются леса, пригодные только для топлива, и строительный камень (андезито-базальты, вулканический шлак и др.).

Район не обеспечен местными квалифицированными кадрами рабочих - горняков. Это положение особенно усугубляется тем, что в районе действует ряд геолого-разведочных партий Армянского геологического управления.

В климатическом отношении Азизбековский район входит в область Закавказского плоскогорья, в зону альпийских лугов, отличающуюся довольно прохладным климатом и достаточной влажностью. Средняя годовая температура составляет  $5-6^{\circ}$ . Зима, непосредственно в районе Амулсарского рудопроявления, довольно продолжительная и суровая со средними январскими температурами от  $-8^{\circ}$  до  $-15^{\circ}$ . Снег выпадает в первой половине ноября и держится до июня месяца.

Количество выпадающих осадков для курорта Джермук

составляет 550–600 мм в год, а для участка Амулсарского проявления, расположенного примерно на 500 м гипсометрически выше курорта, оно несколько больше.

Максимум осадков приходится на весну и осень, минимум – на лето.

### 3. Орография и гидрография района

В орографическом отношении район Амулсарского рудопоявления является частью Армянского нагорья и занимает осевую часть Зангезурского хребта, являющегося водоразделом между бассейнами р.р. Арпа и Воротан.

Район характеризуется резкими колебаниями в отметках рельефа и расчленением его рядом глубоких речных долин. В области широкого развития четвертичных лав, заполнивших глубокие ущелья, рельеф в значительной мере сглажен и имеет характер высокогорного плато. Поверхность лавовых потоков обычно покрыта лессовидными суглинками.

Абсолютные отметки колеблются в пределах 3000–2000 м. Превышение отдельных вершин над окружающей местностью составляет обычно от 100 до 450 м. Наиболее важными орографическими единицами являются массивы г.г. Амулсар – 2987,0 м, высоты 2989,6 м, 2915,6 м, 2884,5 м, 2549,5 м. Последняя безымянная высота расположена непосредственно на участке проявления

Крупные обнажения коренных пород редки, большая часть поверхности задернована.

Почвенные покровы на андезито-базальтах несут на

себе прекрасные горные луга и используются населением под посевы зерновых культур.

Основными водными артериями района рудопроявления являются р.р. Арпа и Воротан и их мелкие притоки. Все эти реки имеют черты типичных горных рек и характеризуются довольно быстрым течением. Эти реки сильно повышают свой уровень весной и заметно мелеют к середине лета, находясь в прямой зависимости от таяния снегового покрова и количества выпадающих осадков.

В геоморфологическом отношении ближайший район проявления представляет собой высокогорное плато, на фоне которого возвышаются отдельные горные вершины. Участок проявления представляет собой ущелье верхнего течения одного из небольших лавовых притоков р. Арпа, воды которого до его впадения в последнюю, забираются Гидроэнергетическим каскадом.

Сравнительно узкое ущелье ручья в 2 км ниже от истоков выходит в широкое и ровное плато, представляющее прекрасный альпийский луг. Непосредственно на участке рудопроявления правый борт ущелья ручья довольно крутой ( $40\text{--}50^{\circ}$ ), а левый сравнительно пологий ( $15\text{--}20^{\circ}$ ).

#### 4. История исследования района и Амул- сарского рудопроявления урана

Ализбековский район является одним из интереснейших районов Армянской ССР в смысле геологии и рудоносности.

В районе развиты отложения почти всех геологических

формаций, начиная с верхнего девона и кончая четвертичной эпохой, а также известны многочисленные рудные и нерудные месторождения, что заставляет исследователей обращать на район особое внимание.

Первые геологические исследования в районе были произведены в 50-60 годах прошлого столетия Г.Абихом (1), в связи с геологическим изучением Кавказа и Закавказья. В работе Г.Абиха приводятся данные по орографии, геологическому строению, тектонике, а также описываются некоторые рудные проявления района. Позже район изучали геологи Чулукидзе, Архипов и Халатов, Лебедев и др., работавшие в разное время и уделявшие внимание лишь рудным проявлениям района или же геологическому строению отдельных участков.

Систематическое геологическое изучение Азизбековского района началось после Великой Октябрьской социалистической революции.

Региональным геологическим изучением района с этого времени занимались К.Н.Паффенгольц (8), А.А.Габриэлян (2), В.П.Лковлев (13) и др., а изучением металлогении района - В.Н.Котляр (5), А.В.Кречковский (6), И.Г.Магакьян (7) и др.

В 1926-27 г.г. по поручению Горного отдела ВСИХ Армении А.В.Кречковский (6) начал исследование полиметаллических проявлений западной части Даралагеза, одновременно занимаясь геолого-петрографическим изучением

района. Он изучал, главным образом, отложения правого берега реки Арпа и впервые составил геологическую карту в масштабе 1:84000 на площади 300 кв.км. В том же году, опять-таки по поручению Горного отдела ВСНХ Армении Котляр В.Н.(3) занимался также исследованием полиметаллических месторождений восточной части Айеццзорского хребта. Им было собрано много эоценовой фауны, на основе которой установлен среднеэоценовый возраст вулканогенно-осадочной толщи района. Им же были выделены лигатиты и дациты, как олигоценовые.

В 1929-30 г.г.И.Н.Иковлевым (13) была собрана фауна палеозойских отложений бассейна реки Арпа.

Начиная с 1923 г. К.Н.Паффенгольцем исследуется Малый Кавказ. Он систематически в течение пяти лет занимался также и изучением геологии Даралагеза. Им была составлена геологическая карта в масштабе 1:200000.

Мнения отдельных исследователей о том, что Даралагез является одним из интереснейших районов Армении в смысле геологии и рудоносности, подтверждается поисково-разведочными и поисково-съемочными работами последних лет, в результате которых выявлено много новых рудных проявлений и месторождений. Однако, необходимо отметить, что окраинное положение рудного поля Амурасского проявления, обширное развитие здесь четвертичных лав и шлаков, перекрывающих коренные породы, привело к его слабой изученности предыдущими исследователями. Вероятно, что обстоятельство послужило причиной и неправиль-

ного определения предшествующими исследователями (Акопиан Г. и др.) пород Амударского интрузива, отнесением их к гидротермально измененным вулканогенным породам олигоценового возраста.

Специальные исследования на урановое оруденение в районе были начаты еще в 1946 г. в порядке ревизии известных здесь рудных месторождений. Тогда еще была установлена высокая активность Каялинского гранодиоритового интрузива, но в связи с ошибочным определением природы активности как ториевой, этот объект в последующие годы был изъят из плана работ.

Каялинское рудопроявление было включено в план работы Громовской экспедиции лишь в 1950 году и работы на нем продолжаются по настоящее время.

Летом 1951 г. в районе Амудара при попутных поисках работниками Никоянской ГСП Армянского геологического управления (Г.Акопян и П.Епремян) были найдены образцы с отением и отмечена точка с повышенной активностью пород.

Здесь и были поставлены геолого-разведочные работы Амударской партии Громовской экспедиции, результаты работ которой излагаются в настоящем отчете.

**ГЛАВА II. КРАТКАЯ ГЕОЛОГИЧЕСКАЯ ХАРАКТЕРИСТИКА  
АЗИЗБЕКОВСКОГО РАЙОНА**

---

**A. Стратиграфия**

**1. Вулканогенно-осадочные породы**

Азизбековский район, в котором расположено Амударское рудоуправление, сложен разнообразными породами различных геологических формаций. Здесь развиты вулканогенные, вулканогенно-осадочные и интрузивные породы, с которыми частично связаны медно-полиметаллические, сурьмяно-свинцовые и другие рудоуправления. Последние обстоятельство привлекло внимание ряда исследователей, из которых наиболее ценный вклад в дело изучения района внесли К.Н.Паффенгольц, В.Н.Котляр и И.Г.Магакьян, изучавшие геологическое строение и металлогению района. Геологический разрез района по данным П.Л.Епремяна складывается представить собой следующую картину (снизу вверх):

1. Эоцен. Отложения эоцена в районе представлены осадочными и вулканогенно-осадочными образованиями. В литологическом отношении их можно расчленить на следующие типы:

**Средний эоцен**

- а) туфопесчаники, известковые туфопесчаники, мощность их 800-1000 м;
- б) туффиты, туфопесчаники, пироксеновые перфириты, туфи и их туфобрекции;
- в) биотитовые и плагиоклазовые перфириты, мощность

100-150 м;

- г) туффиты и пироксеновые порфириты;
- д) порфириты, их туфы и туфобрекчии;
- е) туфопесчаники, мергелеподобные с прослойками андезитов; мощность - 400-600 м.

#### Верхний эоцен

- а) известняки песчаники, конгломераты и туфоконгломераты, мощность 50-100 м;
- б) порфириты и андезиты.

#### 2. Олигоцен

- а) кварциты и кварцитизированные туфобрекчии;
- б) андезиты, их туфы и туфобрекчии.

#### 3. Верхний миоцен - нижний плиоцен

- а) андезиты, дациты, липариты и их туфобрекчии. Мощность около 200 м

#### Верхний плиоцен

- а) туфобрекчии андезитового состава. Мощность 10-15 м;
- б) глины и пески. Мощность 10-15 м.

#### Четвертичные образования

- а) андезито-базальты
- б) аллювиально-делювиальные отложения.

Ниже приводится краткое описание геологического разреза района в указанном порядке.

Эоцен. Отложения эоцена в районе имеют довольно большое развитие и представлены осадочными и вулканогенно-осадочными образованиями (черт. № ).

Указанная толща сложена туфобесчаниками, туффитами и порфиритами среднего эоцена, развитых в юго-западной и северной частях района и имеющих общую мощность около 1500 м, и известняками, песчаниками порфиритами, андезитами и конгломератами верхнего эоцена. Образования верхнего эоцена пользуются большим развитием на правом берегу р.Арна и тянутся узкой полосой от сел.Суйлан до р.Гергер, а также слагают отдельные мелкие участки, установленные в северной и северо-восточной частях района.

Олигоцен. Вулканогенные породы олигоценового возраста в районе имеют довольно широкое развитие и представлены кварцитами и кварцитизированными породами, гидротермально измененными, альбитизированными андезитами, их туфами и туфобрекчиями.

Кварциты широко распространены в районе г.Амулсар, охватывая привершинные части данного отрезка Зангезурского хребта. Кварциты обычно занимают гипсометрически высокие участки, они сильно трещиноваты и окленены и, повидимому, являются остатками вулканогенной кровли олигоцена.

Гидротермально измененные, альбитизированные андезиты, их туфы и туфобрекции развиты к востоку, югу и северо-востоку от Амулсарского рудопроявления, далее, к северу, в районе высот 2515,7 и 2404,7 м, а также к востоку от меридиана с.Кечут эти породы сменяются сильно окварцованными пиритизированными породами, вероятно, также олигоценового возраста.

Андиниты, их туфы и туфобрекчии, почти не подвергшиеся процессу алувиализации, отличаются к северо-северо-западу от развалин с. Зирак, а также в районе Гомушханского полиметаллического месторождения.

По данным геологов Акопяна Г.М. и Епремяна П.Л.(4) олигоценовые породы с небольшим угловым несогласием налегают на дислоцированные породы эоценового возраста.

#### Верхний миоцен - нижний плиоцен

Эта толща, сложенная в основном андинитами, липаритами и их туфобрекчиями, в пределах района имеет незначительное плодородное развитие. Андинито-дациты этой толщи несогласно налегают на среднеэоценовые породы. Между ними встречается древний делювий в виде красноватых глин.

#### Верхний плиоцен

Отложения верхнего плиоцена имеют в районе очень незначительное развитие, встречаются они только между селениями Азизбеков и Пор и представлены туфобрекчиями и глинами.

#### Четвертичные лавы

Лавы эти имеют в районе очень широкое развитие и часто сопровождаются рыхлыми продуктами извержений. Выполняют они углубления молодого рельефа и, местами, обусловили образование разных высокосортных плато. Риссворисские андинито-базальты развиты в районе с. Кечут, курорта Дже姆ук и ниже по бассейну р. Арпа. Они образуют здесь отвесные борта каньонообразного ущелья реки с пре-

красно выраженной столбчатой отдельностью, причем верхние части потока лав как бы смяты и придавлены (рис. 5). Указанные лавы макроскопически имеют много разновидностей, выражающихся как в цвете, так и плотности.

В районе наблюдается ряд вулканических конусов, появивших упомянутые выше четвертичные андезитовые и андезито-базальтовые лавы. К ним относятся: конур высоты 2667,6, расположенный в 1 км к юго-западу от Амударского рудопроявления, конусы в районе развалин с. Зирак и др. Помимо лав, указанные вулканические конусы дали также шлаковые образования, наблюдающиеся на некоторых участках района, в частности на участке Амударского рудопроявления.

#### Современные отложения

Современные отложения в районе имеют небольшое развитие. Это речные, пролювиальные, а чаще элювиальные делювиальные отложения. Мощность последних иногда достигает значительной величины, затрудняя поисковые геологогеофизические работы.

#### 2. Интрузивные породы

В районе исследований интрузивные породы имеют значительное распространение, проявляясь по всей территории района в виде отдельных, сравнительно небольших по площади выходов.

Роль интрузивных пород увеличивается вследствие того, что почти все рудные месторождения и проявления района генетически связаны с интрузиями.

К интрузивным массивам района относятся Кущинский, два интрузивных штокообразных выхода в 2-2,5 км юго-восточнее с.Кечут, ряд мелких интрузивных массивов в районе Гимушанского месторождения полиметаллов, расположенного в 3-4 км к западу от Амулсарского рудопроявления, так называемая Базарчайская группа интрузивов и, наконец, штокообразный выход интрузии монцонитового и гранитаплитового состава, обнажающейся на Амулсарском рудопроявлении и не отмеченный на прежних геологических картах.

Кущинская интрузия гранитоидов расположена в бассейне верхнего течения р.Арпа, в треугольнике между селениями Кечут, Зирак и курорта Джермук. Интрузия обнажается на площади около 2,5 кв.км. К северу от этого массива имеются два небольших спутниковых выхода, площадью около 0,5 и 0,7 кв.км. Третий выход расположен в нескольких километрах от курорта, на правом берегу р. Арпа.

Все эти интрузии прорывают олигоценовые лабрадоритные андезиты и их туфобрекции, образуя вокруг себя зону гидротермально измененных пород.

Гимушанская группа интрузивов располагается в бассейне р.Арпа и представлена небольшими штоками, прорывающими вулканогенно-осадочные толщи эоценового и олигоценового возрастов. Площадь выходов интрузий колеблется в пределах от 0,1 до 5-6 кв.км.

Указанные две группы интрузий сложены преимущественно монцонитами, габбро и габбро-диоритами.

Базарчайская группа интрузивов, расположенная в южной части Даралагеского рудного района, состоит из Верхнебазарчайской интрузии и Далидагского, Дараюртского и Безымянного интрузивных массивов, прорывающих олигоценовую андезито-липаритовую толщу. Это, вероятно, изолированные выходы одной интрузии, разобщенные на поверхности мощным базальтовым покровом четвертичного возраста.

Площадь обнаженной части Верхнебазарчайской интрузии составляет свыше 2,5 кв. км. В составе интрузивов участают сиениты, сиенито-диориты, диориты, монцониты и кварцевые монцониты, являющиеся производными гранодиоритовой магмы.

Интрузивный массив Амулсарского рудопроявления, обнаженная часть которого составляет 0,5 кв. км, вытянут в близмеридиональном направлении при длине 1,0 км и ширине 0,5 км. Примыкающие к интрузиву участки сильно задернованы и перекрыты четвертичными лавами и шлаками, что не дает возможности судить о действительных размерах и конфигурации массива.

Породы интрузива представлены кварцевыми монцонитами и порфировидными гранитаплитами, причем последние местами настолько изменены и разложены, что от первоначальной структуры породы почти ничего не осталось.

### Б. Тектоника

Многофазность горообразовательных процессов, наличие нескольких этапов вулканической деятельности и нескольких циклов внедрения интрузий обусловили очень сложную структуру исследуемого района.

Широким развитием в районе пользуются как складчатые, так и разрывные структуры.

Данных для суждения о проявлении герцинской и киммерийской складчатости в районе не имеется.

Самой древней, фиксируемой, фазой в районе является пиринейская, которая знаменуется широким проявлением вулканизма.

В эоценовое время имела место интенсивная подводная вулканическая деятельность, которая была связана с сильным прогибанием района и образованием радиальных трещин, служивших каналами, по которым изливались лавы.

В верхнем эоцене вулканическая деятельность ослабевает и с новой силой возобновляется в олигоцене, когда изливаются лавы главным образом андезитового и андезито-базальтового составов.

Конец олигоцена и начало миоцена являются одним из основных этапов формирования современной структуры района.

Между олигоценом и нижним миоценом имели место интенсивные горообразовательные процессы с образованием тектонических разломов, вдоль которых внедрялись ин-

рузии гранитоидов.

К этому времени относится также интенсивная гидротермальная деятельность, обусловленная внедрением гранитоидов, и образование медно-полиметаллических месторождений.

Большинство разрывов имеет северо-западное и некоторые из них широтное простирание. Все разрывные нарушения в районе большинством исследователей относятся к постшоенскому возрасту. Вдоль указанных нарушений располагается к большинство вулканических конусов района.

Северная часть бассейна р. Арпа, где расположено Амулсарское рудопроявление, в тектоническом отношении представляет собой пологую антиклиналь общекавказского простирания, ось которой проходит примерно через перевал Кочбек, в 8-9 км выше Амулсарского рудопроявления. К северо-востоку и юго-западу крылья указанной складки переходят в сильно сжатые синклинали, осложненные второстепенной складчатостью и разрывными нарушениями.

Через восточный склон высоты 2884,3 м проходит ось синклинали, крылья которой сложены кварцитами.

Вулканогенные породы, примыкающие к участку Амулсарского рудопроявления, не обладают ясно выраженным элементами залегания, однако, судя по северо-западному простиранию складки, изучаемое рудопроявление расположено в приосевой части упомянутой выше синклинали.

### В. Основные черты металлогении района

По И.Г.Магакьяну (7) Азизбековский район входит в пределы Даралагезского рудного района.

Рудные месторождения района детально изучались В.Н.Котляром (5), К.Н.Паффенгольцем, И.Г.Магакьяном и другими исследователями.

В описании этого раздела отчета использована работа И.Г.Магакьяна ( ), Известные в районе интрузии И.Г. Магакьян об'единяет в четыре группы: Газминскую, Каляинскую, Гюмушханскую и Кушинскую.

Кушинские интрузии рвут толщу олигоцена и представлены несколькими штокообразными телами сиенито-диоритов и монцонитов, площадью 0,5-2 кв.км. К этой же группе можно отнести интрузивный выход кварцевых монцонитов и порфировидных гранитаплитов Амулсара.

Гюмушханская группа интрузий представлена 12 небольших штокообразными телами различного состава - от монцонитов и сиенито-диоритов до габбро-анортозитов.

Интрузии эти рвут толщу олигоцена.

Каялинская интрузия прорывает толщу эоценена и представлена штоком, площадью в 6 кв.км. Сложена интрузия кварцевыми монцонитами, сиенито-диоритами, монцонито-диоритами и габбро-диоритами.

Газминская группа интрузий представлена небольшими штокообразными и дайкообразными телами сиенито-диоритов, граносиенитов, кварцевых диоритов и др., рвущих

толщу эоцена.

В тесной связи с последними тремя группами интрузий в самих интрузивах или в породах экзоконтакта залегают рудные тела различных месторождений.

Из известных в районе месторождений сравнительно детально изучены и предварительно разведаны Гюмушанское (полиметаллическое), Газинское (полиметаллическое), Енгиджинское (полиметаллическое), Азатекинское (сурьмяно-свинцовое) и Каалинское (полиметаллическое).

Кроме указанных месторождений, более мелкие проявления полиметаллических руд такого же характера известны у с.с. Тери, Чайкенд, Кочбек и Эрдапин.

### ГЛАВА III. ГЕОЛОГИЧЕСКАЯ ХАРАКТЕРИСТИКА АМУЛСАРСКОГО УРАНО - ТОРИЕ- ВОГО ПРОЯВЛЕНИЯ

#### 1. Геологическое строение участка Амударского рудопроявления

Участок Амударского рудопроявления сложен в основном интрузией, короды которой представлены кварцевыми монцонитами и порфировидными гранитаплитами, а также четвертичными андезито-базальтами. Незначительное развитие имеют вторичные кварциты и кварцитизированные туфобрекчи, порфириты, вулканические шлаки и делювиальные отложения (черт. № ).

Ниже приводится краткое геолого-петрографическое описание указанных пород, слагающих участок Амурского рудопроявления.

#### A. Эффузивные породы

Самым нижним горизонтом эффузивных образований участка являются порфириты элиоцена. Обнажаются порфириты в северо-восточной части участка на площади нескольких сот квадратных метров.

Макроскопически это довольно плотные, слегка ороговикованные породы серого цвета. Они обладают порфировой структурой и состоят из слабо рассекристаллизованной основной массы и вкраепленников плагиоклаза.

Кварциты и кварцитизация туфобрекчии, залегающие на порфиритах, развиты в районе высоты 2834,3 м., к северо-востоку от Амурского проявления, на левом склоне широтной долины безымянного ручья, берущего начало непосредственно в восточной части рудопроявления и справа впадающего в р. Воротан.

Кварциты представляют собой плотную породу серовато-белого цвета, местами окраинную окислами железа в красновато-бурый цвет.

По В.И. Котляру ( ) кварциты Амурса являются вторичными; их происхождение об'ясняется воздействием интрузивных массивов, предположительно залегающих на глубине.

Последующие исследователи приходят к выводу об оса-

дочном происхождении кварцитов, содержащих гематит сингенетического происхождения, и говорят лишь о метаморфизованности их там, где интрузивные массивы залегают на небольшом расстоянии.

На левом склоне упомянутой выше широтной долины обнажаются кварцитизированные туфобрекчи, местами окрашенные в различные тона желтого, бурого и серого цветов.

Туфобрекчи состоят из угловатых обломков, размером от долей см до 15, реже 20 см в поперечнике. Обломки представлены кварцитами, нездреватой туфоловой, туфами и др. образованиями. Цементирующими веществами туфобрекчий является окварцированный и окжелезенный туфогенный материал.

Указанная толща кварцитов и туфобрекчий характеризуется низкой активностью и с точки зрения рудоносности не представляет интереса.

Четвертичные андезито-базальты, развитие на Амур-сарском рудопроявлении, занимают обширную площадь к западу и северо-западу от него. Центром излияния лав здесь является вулканический конус с абсолютной отметкой 2667,6 м, расположенный в 1 км к юго-западу от Центрального участка рудопроявления. Поток лав кончается в 80 м от левого берега ручья "Лагерный" и имеет мощность около 40 м.

Андезито-базальты представляют собой темносерые нездреватые породы с разложеннымися порфировидными вкраплени-

лениками базальтической роговой обманки. Отдельные пустоты в породе выполнены обычно водяно-прозрачными агрегатом зерен кальцита.

Лавы в краевых частях потоков и в ложбинах образуют крупные осьпи.

Вулканические шлаки, являющиеся продуктом деятельности того же вулкана, который извергал четвертичные лавы, развиты непосредственно на участке Амулсарского проявления, главным образом в привершинной части возвышности 2549,5 м, особенно на ее юго-западном склоне. Мощность шлакового слоя колеблется от 1 до 40 м. Весь район, примыкающий к вулканическому конусу, по всей вероятности, был покрыт слоем шлака, который впоследствии был размыт и уцелел лишь на благоприятных в морфологическом отношении участках.

Вулканический шлак черного и темнобурого цветов, сильно поздреватый и очень легкий, размер обломков шлака колеблется от нескольких см до 15-20 см в поперечнике. В шлаках иногда наблюдаются обломки интрузивных гранитаплитов. Плоскости указанных обломков несколько обожжены, что, повидимому, связано с воздействием на них раскаленных шлаков непосредственно после выброса последних.

#### Б. Интрузивные породы

Интрузивные породы на Амулсарском рудопроявлении своей обнаженной частью занимают в основном правый склон ущелья ручья "Лагерный", протягиваясь к северному скло-

ну горы с абсолютной отметкой 2884,3 м (черт. № ).

На левом склоне ущелья в 80 м от берега ручья контакт интрузии резко уходит на глубину, образуя древнее довольно глубокое ущелье, в настоящее время выполненное четвертичными лавами и вулканическими шлаками (рис. № ). Площадь обнаженной части интрузии составляет около 0,5 кв. км ( $1,0 \times 0,5$  кв. км). Сложена интрузия двумя разновидностями пород, подвергшихся гидротермальному изменению.

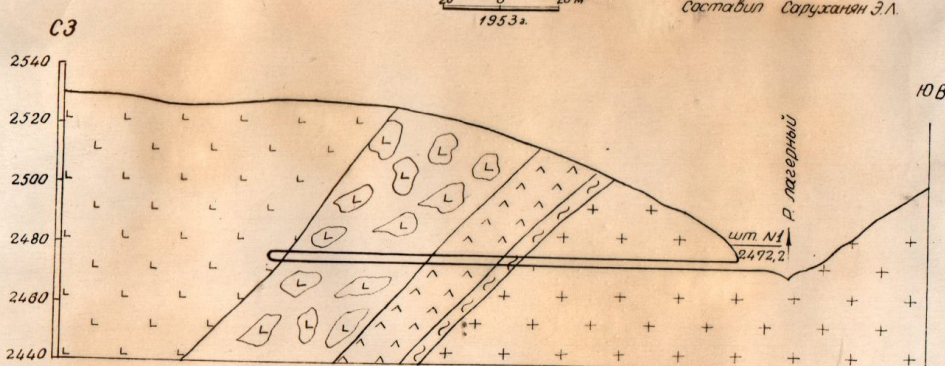
Северная и южная части интрузива сложены в основном кварцевыми монцонитами, представляющими собой средне-крупнокристаллические породы серовато-бурого цвета с гипидиоморфозернистой (монцонитовой) структурой (рис. № ). Главными минералами, слагающими породу, являются плагиоклаз и калиевый полевой шпат, в подчиненном количестве находятся пироксен, почти нацело замещенный амфиболом, и кварц. Из акцессорных минералов в породе присутствуют циркон, апатит и в большом количестве рудный минерал. Широким развитием в породе пользуются вторичные минералы — эпидот, серицит и пелитовое вещество, развитые по полевому шпату, а также уралит (зеленая роговая обманка), развитый по пироксену.

Вторая разновидность пород, слагающих главным образом центральную часть Амударского интрузива, представлена мелковзернистым порфировидным гранитаплитом

Амурпартское рудопроявление урана  
Схематический геологический  
разрез по штольне № 1

M 1:2000  
20 0 20 м  
1953г.

составил Саруханян Э.Л.



Условные знаки.

	Доломитовая глина.		Вулканические шлаки.
	Глыбы андезитов.		Интраузия порфировидных гранитоаплитов.
	Андезиты.		

Рис. N

серого цвета с крупными порфировыми выделениями полевого шпата и редко пластинок биотита.

Порода обладает порфироидной структурой с микропегматитовой и аплитовой структурой основной массы (рис. № ).

В составе породы принимают участие калиевый полевой шпат, плагиоклаз, кварц, биотит, циркон, апатит, турмалин, серицит, хлорит и рудный минерал. Порода состоит из вкраплеников и полнокристаллической основной массы.

Порфироидная ее структура обусловлена наличием крупных таблитчатых и удлиненных кристаллов плагиоклаза, почти нацело серицитизированных, реже свежих.

Основная масса представлена кали-натровым полевым шпатом, в подчиненном количестве находятся кварц и плагиоклаз. Из темноцветных минералов присутствует биотит; отдельные пластиинки его осветлены, коррозированы, некоторые замещены гидроокислями железа, мусковитом, реже хлоритом.

Аксессорные минералы присутствуют в значительном количестве и представлены цирконом, апатитом и рудным минералом (магнетит, пирит, титано-магнетит ?).

Гранитаплиты нередко содержат ксенолиты более темноцветных, весьма мягких роговообманковых порфиритов, достигающих иногда 20–30 см в поперечнике.

Переходы двух описанных разновидностей, слагающих интрузивные породы, довольно постепенные, иногда, на некоторых участках (в 55 м выше по ручью от шурфа № 16, в

Рис. №3 Кварцевый монцонит



Фото Прозрачного шлифа №1 николи X

Рис. №4 Порфировидный гранит-аплит

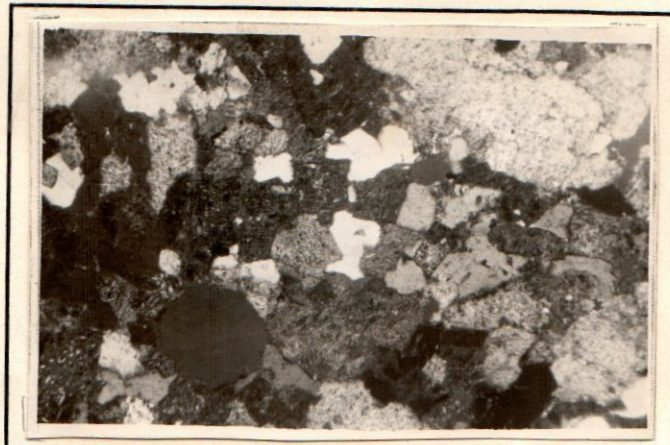


Фото Прозрачного шлифа №17 николи X

Рис. №5 Нацело серицитизированные плагиоклазы

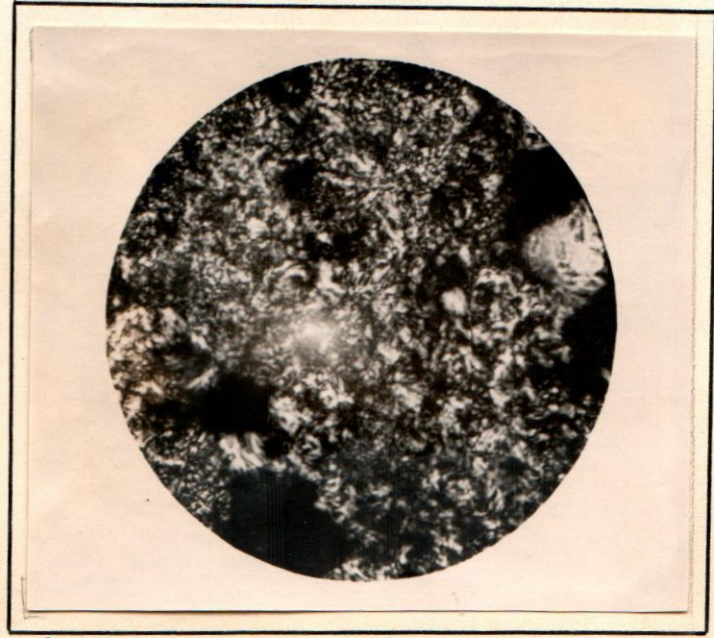


Фото Прозрачного шлифа №32 николи X.

квершигеле № 2 штольни № 4) контакт кварцевых монцонитов и перфировидных гранитаплитов резкий, тектонический.

Обе разновидности пород подверглись довольно сильному гидротермальному воздействию, выразившемуся в значительной серицитизации пород за счет платиоклаза (рис. № 5). Серицитизация наблюдается как в гранитаплитах, так и в кварцевых монцонитах; в последних она развита несколько слабее.

Одновременно с образованием серицита гидротермальное изменение пород привело к мусковитизации биотита, образование хлорита и сильной пиритизации пород; пиритизация сильно развита в гранитаплитах и почти не наблюдается в кварцевых монцонитах.

На дневной поверхности или вблизи нее гранитаплиты, вследствие гидратации содержащегося в них в большом количестве серицита, становятся более рыхлыми, приобретают светлую окраску с желтыми и бурьими пятнами водных окислов железа, образующихся глауконитовым образом, при окислении пирита.

Широкое площадное и довольно равномерное по интенсивности гидротермальное изменение пород, полное отсутствие (за исключением пирита) рудных сульфидов и других продуктов гидротермальной деятельности невольно наводит на мысль, что гидротермальное изменение пород Амурского интрузива есть результат процессов автометаморфизма в самих изверженных породах, а не результат циркуляции гидротермальных растворов. Однако, неясные от-

личия явлений автометаморфизма от последующих гидро-термально-метасоматических изменений не дает возможности высказать определенное суждение в решении этого вопроса.

## 2. Структурная характеристика Амурасарского рудопоявления

Из тектонических структур в Амурасарской интрузии непосредственному наблюдению поддаются лишь разрывные нарушения, представленные следующими тремя основными системами:

1. Северо-западные нарушения ( $290-340^{\circ}$ ) с падением на ВЗ под углом  $50-80^{\circ}$ .

2. Северо-восточные нарушения ( $20-60^{\circ}$ ) с падением на СЗ под углом  $50-70^{\circ}$ .

3. Юго-западные нарушения ( $200-240^{\circ}$ ) с падением на СЗ под углом  $30-80^{\circ}$ .

Из указанных трех систем нарушений наиболее мощными и выдержаными являются северо-западные нарушения.

Северо-восточные и юго-западные нарушения, за исключением отдельных случаев, выполнены серой глинистой притирания, мощностью 1-10 см, иногда захраним уплотненным материалом, мощностью 0,1-0,5 см.

Северо-западные нарушения, нередко представленные довольно мощными (0,5-4 м) зонами дробления, выполнены сильно перемятой породой, местами превращенной в вязкую глиноподобную массу.

Одна из таких северо-западных зон, падающая на ИЗ 240° под углом 75–80°, была прослежена горными выработками на протяжении около 160 м (черт. № 1). Зона выполнена сильно перемятой, раздробленной породой с прослойми темносерой и черной глины с многочисленными плоскостями и штрихами скольжения; мощность подобных прослоев достигает 10–15 см. Мощность зоны, достигающая вначале 3–4 м, к юго-востоку сильно убывает до 50–60 см и к скважине № 3 зона совершенно выклинивается, не фиксируясь в скважине.

Мощная (7 м) зона дробления, юго-западного простирания, была подсечена штольней № 4 (черт. № 1). Зона, выполненная зеленовато-бурой, сильно раздробленной и перемятой породой, почти яцело превращенной в мягкую слизучую массу с кирнай буроватой глинистой трещинами и многочисленных плоскостях скольжения, не была обнаружена ни на верхних горизонтах рудопроявления (штольни № 2 и 3), ни по простиранию (штреки шт. № 4). Это обстоятельство, а также развитие в зоне глиники трещин по разнообразным направлениям и отсутствие определенных, более или менее выдержаных плоскостей скольжения невольно наводит на мысль, что данный участок интрузива испытал сильные тектонические напряжения при отсутствии значительной амплитуды смещения масс породы и имеет линзовидную форму, быстро выклиниваясь как по падению, так и по простиранию.

Возрастные взаимоотношения вышеуказанных систем

нарушений извиду сильной раздробленности и трещиноватости пород, не поддаются точному определению, однако, некоторые данные создают впечатление, что наиболее молодыми нарушениями являются северо-западные.

Тектонические структуры, наблюдаемые в породах Амулсарского интрузива, как правило, не несут никакого оруденения.

То обстоятельство, что основная минерализованная площадь Амулсара расположена между двумя мощными северо-западными структурами не может указывать на какую-либо связь оруденения с этими структурами, поскольку минерализованные участки располагаются и вне площади, ограниченной этими структурами, и сами структуры являются безрудными.

Наблюданная же местами в тектонических нарушениях вторичная урановая минерализация присутствует здесь лишь постольку, поскольку она содержится и во вмещающих породах участка, секущегося нарушением.

Изменения вмещающих пород в контактах тектонических нарушений наблюдаются редко в виде окварцевания и пиритизации и лишь в рассечке № 6 шт. № 3 в окварцованным контакте лежачего бока зоны дробления наблюдалось повышение актииности и было отмечено присутствие мелких чешуек вторичного уранового минерала - торбернита.

## ГЛАВА 1У. МЕТОДИКА ПОЛЕВЫХ ГЕОЛОГО-ГЕОФИЗИЧЕСКИХ РАБОТ

Методика полевых геолого-геофизических работ Амурской партии вытекала из ее основного целевого задания, заключающегося в выявлении промышленных ~~урановых~~ руд.

Основными видами геодетско-разведочных и поисковых работ, проводимых партией в 1952-1954 г.г., являлись: проходка штолен, механическое колонковое бурение (поверхностное), проходка шурфов, проходка канав, геолого-структурная съемка и спрэробование.

Поисково-разведочные работы производились с широким применением полевых геофизических методов поисков, а также лабораторных радиометрических, радиохимических, химико-аналитических, минералогических и радиогидрогеологических исследований.

Поисково-разведочные, геолого-геофизические работы в основном были сосредоточены на центральном участке рудопроявления и в незначительном объеме в прилегающем к рудопроявлению районе.

Ниже приводится описание методики проводимых геодетско-разведочных и поисково-разведочных работ за период с 1952 по 1954 г.г.

### A. Поисково-разведочные работы

#### 1. Поиски и разведка

В соответствии с целевыми заданиями и утвержденными проектами работ, с течение 1952-54 г.г. разведка Цент-

рального участка Амурского рудопроявления осуществлялась горными выработками легкого (шурфы, канавы) и тяжелого (штолни, штреки, рассечки) типов и поверхностью буровыми скважинами. Штолни задавались под выявление на поверхности участки с вторичной урановой минерализацией. Подсеченные штолнями минерализованные участки прослеживались в обе стороны, рассечками, длиной в среднем по 40 м. Часть рассечек из штолни № 2 была продолжена до сбояки со стволом штолни № 3.

Центральный участок Амурского рудопроявления разведывался на двух горизонтах, с расстоянием между горизонтами около 60 м. Необходимо отметить, что все горные выработки тяжелого типа носили чисто поисковый характер.

Сечение горных выработок принималось равным 3,6 и 5,2 кв.м. Проходка подземных горных выработок осуществлялась в основном механическим способом армированными бурами и в незначительном объеме - вручную (в 1952 г.) двуручными бурением шурпов.

Откатка породы производилась вагонетками, емкостью 0,32 и 0,4 м<sup>3</sup>.

Несмотря на значительную крепость (УШ-Х категории) проходимые на Амурском рудопроявлении породы сильно трещиноваты и раздроблены, что требовало значительного объема крепления. Крепление всех горных выработок производилось неполными дверными окладами со сплошной затяжкой кровли и стенок.

С целью вскрытия минерализованных участков и севе-

ро-западных нарушений на глубине проходились поверхно-  
стные буровые скважины.

Бурение скважин велось двумя станками КА-М-300 и  
одним станком КА-М-599.

Все скважины, как правило, задавались наклонно под  
углом 75–80° по азимутам СВ 40° и СВ 60°. До коренных  
пород скважины проходились диаметром 146 мм, в корен-  
ных породах – диаметрами 130, 110, 91 и 85 мм. Истираю-  
щим материалом в основном служила дробь и меньше твер-  
дые сплавы. Под'ем бурового снаряда производился через  
1–2 м. В выходе керна наблюдались значительные колеба-  
ния от полного его отсутствия, на отдельных небольших  
интервалах, до 60–65%, в среднем выход керна составля-  
ет 77,5%.

С целью вскрытия и проследивания активных участков,  
установленных поверхностным гамма-профилированием и  
эмиссионной с'емкой, проходились мелкие горные выра-  
ботки (шурфы и канавы). В некоторых случаях шурфы и  
канавы проходились с целью вскрытия коренных пород и  
выяснения характера их контактов.

Ниже приводится реестр горных выработок и буровых  
скважин, пройденных Амударской партией в 1952–1954  
годах:

Таблица №

## Реестр горных выработок

№ пп	Наименование выработок	Ед. изм. выраб.	Сеч. на 1/1 в квм	Длина на 1/X в т.ч. 1954г.	Приме- чание 1954г. проид. в 1954г.	7	8
1	2	3	4	5	6		
<u>Штольня № 1</u>							
1.	Основной ствол	п/м	3,6	161,8	161,8	-	
<u>Штольня № 2</u>							
2.	Основной ствол	"	"	205,0	205,0	-	
3.	Рассечка № 1	"	"	50,3	50,3	-	
4.	" № 2	"	"	33,3	33,3	-	
5.	" № 3	"	"	28,2	28,2	-	
6.	" № 4	"	"	41,6	41,6	-	
7.	" № 5	"	"	49,0	49,0	-	
8.	" № 6	"	"	53,15	53,15	-	
9.	" № 7	"	"	48,1	48,1	-	
10.	" № 8	"	"	62,6	62,6	-	
11.	" № 9	"	"	31,6	31,6	-	
12.	" № 10	"	"	30,45	30,45	-	
<u>Штольня № 3</u>							
13.	Основной ствол	"	"	255,9	255,9	-	
14.	Рассечка № 1	"	"	35,0	35,0	-	
15.	" № 2	"	"	46,2	46,2	-	
16.	" № 3	"	"	25,0	25,0	-	
17.	" № 4	"	"	39,2	39,2	-	
18.	" № 6	"	"	36,0	36,0	-	

1	2	3	4	5	6	7	8
19.	Рассечка № 7	п/м	3,6	40,0	40,0	-	
20.	" № 8	" "	34,5	34,5	-		
21.	" № 9	" "	41,0	41,0	-		
22.	" № 10	" "	44,2	44,2	-		
23.	" № 11	" "	43,0	43,0	-		
24.	" № 12	" "	32,9	32,9	-		
25.	" № 13	" "	37,3	37,3	-		
<u>Штольня № 4</u>							
26.	Основной ствол	"	5,2	445,7	530,0	84,3	
27.	Квершиаг № 2	"	"	208,5	208,5	-	
28.	Рассечка № 1	"	3,6	48,0	48,0	-	
29.	Штрек № 1	"	4,0	0,0	60,5	60,5	
30.	" № 2	"	"	0,0	40,5	40,5	
31.	Штр. № 1, орт № 2	"	2,7	0,0	5,30	50,3	
32.	" № 2, орт № 1	"	"	0,0	10,5	10,5	

Таблица №Реестр буровых скважин

№ № Глубина Ази- Угол % ви-Прокарот Приме-  
пп скв. мут накло- хода глубина чание  
На 1/1 На 1/X в т.ч. скв. на керна  
1954 г. 1954 г. пройд.  
в 54 г.

1	2	3	4	5	6	7	8	9	10
1	1	146	146	-	СВ 30°	75°	60	144	
2	2	129	129	-	ЮВ 120	75	56	119	
3	3	185	185	-	СВ 40	75	75	147	

1	2	3	4	5	6	7	8	9	10
3	3бис	0,0	279,9	279,9	СВ 40°	75°	75	279,0	
4	4	220,0	220,0	-	СВ 40	75	80	173,0	
5	5	153,0	153,0	-	СВ 300	75	80	148,0	
6	6	112,0	112,0	-	СВ 60°	80	76	108,0	
7	7	0,0	193,4	193,4	СВ 60	80	82	193,4	

## 2. Документация горных выработок и буровых скважин

В основу принятой методики документации были положены сплошные зарисовки подземных горных выработок - забоев, обеих стенок и кровли. В шурфах документировались подошва и все четыре стени.

При документации канав зарисовывались дно и обе стени. Из тектонических нарушений на зарисовках фиксировалась те, для которых признаки перемещения были выражены достаточно четко, как например: глиника трения, брекчии, относительное перемещение пород и т.д. Кроме того, в зарисовках отмечались также характер минерализации (вкрапленность, примазки) и изменчивость пород.

Зарисовки сопровождались детальным и подробным описанием документируемого интервала. Зарисовки и описание выполнялись в пикетаковых книжках, масштаб зарисовок был принят 1:50. По данным документации составлялись начисто тушью развертки выработок в масштабе 1:100, а затем сводные пла-

ви и разрезы в масштабах 1:100, 1:200 и 1:500.

Документация буровых скважин производилась по вынутому керну, при этом однородные породы выделялись по степени измененности, на разрезах скважин и при описании пород отмечались кварцевые и кварц-пиритовые прожилки с указанием мощности и углов падения.

Кроме того, во время описания керна в ящик вкладывалась фанерная бирка с указанием № скважины, даты, смены, глубины, линейного выхода керна и фамилии сменного бурового мастера. Помимо этикетки, масляной краской на ящике обозначался № скважины и ящика, интервал глубины и направление укладки керна.

### 3. Опробование

Поисково-разведочные работы на Амурском рудопроявлении сопровождались отбором бороздовых проб. Бороздовые пробы, ввиду отсутствия определенных рудоносных структур, отбирались в забоях выработок во всю ширину выработки или по стенкам однометровыми бороздами.

Систематическому бороздовому опробованию в среднем через каждые 1-1,5 м, подвергались все горные выработки. Расстояние между пробами, в некоторых случаях, при отсутствии минерализации и низкой активности пород увеличивалось до 5-10 и более метров. Зоны тектонических нарушений опробовались вкрест простирания по всей вскрываемой мощности.

Начальный вес проб варьировал от 8 до 24 кг, в зависимости от длины борозды.

Дробление проб производилось вручную в чугунных ступках. Материал пробы сокращался квартованием, перемешивался способом кольца и конуса по схеме, составленной в соответствии с формулой  $Q = Kd^2$ , где значение коэффициента "К" было принято за единицу. Проба сокращалась до конечного веса 350-200 гр (в зависимости от начального веса) при конечном размере зерен 0,25 мм (рис. № 1).

Пробы после сокращения замерялись на электрометрах и радиометром ИР-6, а затем отправлялись на контрольные радиометрические исследования и химический анализ. На контрольные измерения и химанализ направлялись пробы с содержанием 0,02 и более % эквивалентного металла. Дубликаты проб оставлялись в партии.

#### Б. Методика геофизических работ

Одним из важнейших мест в общем комплексе геологогеофизических работ партии было отведено радиометрическим методам прикладной геофизики.

Основными методами полевых геофизических работ Амурской партии в 1952-1954 г.г. являлись: гамма-с'емка, эманационная с'емка, гамма-каротаж буровых скважин и лабораторные исследования проб. Партия пользовалась стандартной радиометрической аппаратурой, техническая эксплу-

атация которой производилась в соответствии с существующими инструкциями.

1. Гамма-с'емка. Измерение радиоактивности пород по гамма-лучам производилось в основном при помощи радиометра ИР-6 и частично СР-18 путем поискового, детального и подземного профилирования.

Поисковое гамма-профилирование по отдельным маршрутам, приуроченным к ущельям и ложкам, комбинировалось с площадной гамма-с'емкой в случае наличия отдельных выходов и обнажений, с расчетом наиболее полного охвата всего комплекса пород, развитых в районе. Маршруты поисковой гамма-с'емки приурочивались к местам наибольшей обнаженности и проводились, в основном, вкrest простирания геологических структур. Густота точек измерений по маршруту колебалась в довольно широких пределах, в зависимости от масштаба поисков и обнаженности местности. В среднем на 1 п/км поискового маршрута приходилось 40-60 фиксированных точек измерений. При обнаружении участков с повышенной активностью пород проводилось детальное профилирование, с расстоянием между точками измерений от 0,5 до 1,5 м.

Детальному гамма-профилированию подвергались и все наземные горные выработки. Густота точек измерений принималась: по канавам 2 точки на 1 кб.м, по шурфам - 4 точки на 1 п/м. При обнаружении участков с повышенной активностью точки измерения сгущались.

Подземное гамма-профилирование проводилось параллельно <sup>с</sup> геологической документацией горных выработок. Измерения гамма-активности пород в выработках проводились по двум стенкам, кровле и в забое.

Среднее расстояние между точками измерений составляло 0,3-0,5 м при непрерывном прослушивании в телефон всего интервала.

Результаты всех видов гамма-профилирования выражены в гамма-единицах и нанесены на геологические зарисовки выработок и геологические карты.

Снятие характеристик, установление оптимального режима работы, определение натурального фона, эталонирование в полном соответствии с требованиями действующих инструкций и руководств.

2. Эманационная с'емка. Значительную роль в общем комплексе геофизических исследований в районе работ партии играла эманационная с'емка. В зависимости от этапа поисково-разведочных работ, поставленной задачи, а также сложности и изменчивости геологического строения района, сеть эманационной с'емки принималась различной. На Центральном участке Амулсарского рудопроизводения эманационная с'емка проводилась по сети 20 x 2 и 40 x 2 м. В прилегающем к Центральному участку районе сеть эманационной с'емки была принята 200 x 5 и 300 x 5 м с детализацией на более интересных участках по сети 50 x 5 метров.

Эманационные профили задавались обычно вкрест простирания пород, тектонических нарушений и контактов.

Разбивка сети детальной эманационной съемки производилась инструментально, а при поисках - по компасу. Начало и конец профиля, а также точки с повышенной концентрацией радона в почвенном воздухе закреплялись на местности постоянными знаками.

Ввиду смешанной природы активности газового ореола Амурского рудопроявления при обнаружении точек с повышенной активностью почвенного воздуха, для выяснения природы радиоактивности, замеры производились с 0,1, 2,3 и 5-минутной экспозицией.

Для предварительного суждения о связи эманационных аномалий с коренными эманирующими породами, в отдельных точках применялась методика отбора "больших проб", при которой из точки откачивался воздух в количестве 100-200 л, после чего производилось измерение ионизационного тока.

Результаты эманационной съемки выражены в эмапах для радона и экв.зменях для торона и нанесены на геологические карты.

Эманационная съемка производилась электрометрами СТ-11. Этalonирование электрометров производилось индийскими радиевыми эталонами с содержанием порядка  $10^{-9}$  и  $10^{-8}$  г радия, один раз в месяц. При этalonировании применялся как вакуумный, так и циркуляционный метод.

Кроме того, режим работы приборов систематически проверялся стандартными металлическими эталонами серий 3 и 5.

3. Уранометрическая съемка разделяется на 2 этапа:

- а) отбор проб;
- б) перво-луминесцентный анализ.

Отбор проб уранометрической съемки производился как по профилям, так и по многочисленным сухим логам района. Пробы отбирались с глубины 30-40 см из-под растительного слоя, весом 30-50 гр. Расстояние между точками отбора проб 10-20 м. В пробу отбирался рыхлый материал с размером частиц 1-2 мм, просеивание проб производилось на месте.

Перво-луминесцентный анализ производился в лаборатории экспедиции, снабженной люминесцентным фотометром ЛО-1.

4. Гамма-кароттаж буровых скважин. Кароттаж буровых скважин до глубины 150 м производился силами партии кароттажной установкой КРЛ с кабелем, длиной 150 м. Отсечты брались по ЭМС'у, начиная от забоя скважины. При опускании же гильзы до забоя прослушивался в телефон весь интервал скважины и отмечались наиболее интересные участки. Точки измерения располагались через 1 м, а в местах повышенной активности сгущались до 0,5-0,1 м друг от друга.

Эталонирование радиометра производилось стандартным

металлическим эталоном № 3 перед каротированием каждой скважины.

Результаты кароттажа выражены в гаммах и нанесены на геологические колонки скважин. Кароттаж скважин при глубине свыше 150 м производился кароттажным отрядом Центральной партии Громовской экспедиции.

**5. Луминесцентные исследования.** Исследование в ультрафиолетовых лучах подвергались все штучные образцы и пробы, отбирающиеся в течение полевого периода. Помимо того, луминесцентному исследованию подвергались бороздовые пробы до их дробления. Во всех горных выработках проверялись на люминесценцию их стени, кровля и забои.

При поисковых работах проводились люминесцентные исследования на отдельных выходах пород и обнажениях.

Для перевода урана из нелюминесцирующего состояния в люминесцирующее широко применялся метод перлов. Исследований минерал сплавлялся с  $\text{NaF}$  и содержание урана определялось с помощью прибора М2-1, путем сравнения с эталонными перлами.

#### В. Радиогидрологические исследования вод

Подземные и поверхностные воды в полевых условиях исследовались только на содержание в них растворенного радона, а определение содержания метадала производилось в химической лаборатории экспедиции. При отборе проб воды производилось описание водопункта - его тип, харак-

тер и геологические условия выхода вод и др.

Для отбора проб воды применялись стандартные промышленки об'емом 0,2 л., в которые исследуемая вода отбиралась в количестве 0,1 л. Измерения осуществлялись электрометром СР-2М. Проба в ионизационную камеру переводилась вакуумным методом.

Концентрация радона в воде выражалась в эманах. Этапирование прибора производилось 2 раза в месяц жидким радиевым эталоном.

#### Г. Лабораторные работы

В полевой геофизической лаборатории проводился следующий комплекс радиометрических исследований:

- 1) бета-измерения порошковых проб;
- 2) бета-измерения керна скважин;
- 3) раздельное определение урана и тория по методу Н.Н.Шашкиной.

1. Бета-измерения порошковых проб производились как ионизационным, так и импульсным методом. Оба этих метода основаны на сравнении бета-излучения порошковых проб с бета-излучением насыпных рудных эталонов.

При ионизационном методе пробы и эталон измерялись в общепринятой циклической последовательности прибором СР-2М. Этalon подбирался по возможности близким к исследуемым пробам, обычно использовался эталон с содержанием урана 0,031%.

Импульсные бета-измерения прибором ПР-6 со счетчиком Б-2 применялись в полевых условиях при измерении керна и

порошков бороздовых проб.

Эталонирование радиометра ПР-6 по бета-лучам производилось с помощью порошковых рудных эталонов ВИМС'а, помещавшихся на стандартных тарелочках из лабораторного комплекта прибора. По показателям счетчика-умножителя, соответствующим содержанием, строилась кривая эталонирований, служившая в дальнейшем для выражения бета-активности в процентах эквивалентного урана.

2. Бета-измерение керна скважин. Активность всего поднятого керна скважин измерялась по суммарному эффекту бета- и гамма-излучений с помощью радиометра ПР-6 со счетчиком В-2. Отсчеты брались по ЭМС'у через 1 м по однородным змеящимся породам и через 0,2 м в случае повышения активности. Кроме того, весь керн прослушивался в телефон при медленном движении счетчика вдоль керна.

Для количественной оценки измерений прибор эталонировался порошковыми эталонами, которые насыпались на прямоугольные тарелочки. По эталонировочной кривой показания прибора, полученные при измерении, переводились в эквивалентное содержание урана, при этом вводилась поправка на вес керна.

Такая оценка содержания урана является весьма ориентировочной, так как сравнение излучения керна с излучением порошка не может быть точным, но описанная методика дает возможность выделить участки с повышенной активностью.

3. Метод раздельного определения урана и тория  
 основан на том, что равные весовые части урана и тория  
 в равновесии с продуктами распада дают различные интен-  
 сивности по бета- и гамма-лучам. Подробности применения  
 методики Н.Н.Шашкиной общеизвестны и здесь их не описы-  
 ваем.

Измерения производились радиометром ИР-6 со счетчи-  
 ков Б-2. Бета-активность проб измерялась в стандартных  
 тарелочках, а гамма-активность - в специальных стаканах  
 из комплекта лабораторного радиометра ИР-6Л. Зная интен-  
 сивность бета- и гамма-излучения, и пользуясь известны-  
 ми формулами, вычислялось содержание урана и тория в  
 пробе.

Химический и радиохимический анализ порошковых проб  
 на уран и торий производились в Центральной лаборато-  
 рии Громовской экспедиции.

ГЛАВА V. РЕЗУЛЬТАТЫ ГЕОЛОГО-ГЕОФИЗИЧЕСКИХ РАБОТ,  
ПРОВЕДЕННЫХ НА АМУЛСАРСКОМ РУДОПРОЯВЛЕ-  
НИИ за 1952-54 г.г.

A. Результаты геофизических работ  
на Центральном участке рудопро-  
явления

1. Гамма-съемка

Проведенная как на площади всего рудопроявления, так и по широкой периферии вокруг него детальная гамма-съемка показала, что на поверхности Центрального участка гамма-активность сильно измененных серicitизированных порфиритовых гранитоидов, обнажающихся на правом берегу ручья "Яагерного" и не содержащих видимой урановой минерализации, достигает 60-70 гамм, в то время как активность слабо измененных кислых монцонитов остальной части поля интрузии не превышает 10-25 гамм, а активность лав и шлаков совершенно ничтожна.

Гамма-активность на глубине, в горных выработках несравненно выше, чем на поверхности и в ряде мест превышает 200 гамм, достигая в отдельных точках 500-1100 гамм.

Как в шурфах, так и в штолнях высокая гамма-активность пород не всегда приурочена к местам, обогащенным вторичными урановыми минералами.

На общем повышенном фоне активности пород в 100-150 гамм (за счет рассеянных урана, тория и радия) вторичные урановые минералы, даже при значительных скоплениях не создают большого избыточного излучения. На участ-

стках с вторичной урановой минерализацией активность обычно колеблется от 150 до 300 гамм. В тех случаях, когда активность на минерализованных участках в отдельных точках достигает 900-1100 гамм, она обычно обязана своим происхождением не слюдкам, а радию и торию, что подтверждается и радиохимическими анализами проб этих участков. Это хорошо видно при рассмотрении зарисовки штольни № 3 (черт. № ). Здесь видно, что при общем повышенном фоне 100-150 гамм (за счет тория), гамма-активность на участках с богатой вторичной минерализацией (в устье шт. № 3 и на интервале 76-94 м) небольшая, всего 220-275 гамм.

Наоборот, при бета-измерениях обогащенных вторичными минералами пород наблюдается резкое изменение фиксируемой интенсивности излучения, в зависимости от увеличения или уменьшения количества вторичных минералов. Это было отмечено как Контрольно-методической группой экспедиции при бета-с'емке непосредственно в штольнях, так и при измерении отдельных образцов в центральной лаборатории на установке "В", где образцы сопоставимых размеров показывали от 150 (при бедной минерализации) до 10.500 имп/мин. (при богатой минерализации).

Такая же закономерность намечается и для штольни № 2, где активность на интервалах с вторичными минералами редко достигает 300 гамм и только там, где мы имеем резкий сдвиг радиоактивного равновесия до 520% за счет переотложенного радия, наблюдается высокий пик до 800-

1050 гамм.

Высокая активность некоторых интервалов по штольне № 2, рассечке № 9 шт. № 3 и др., достигающая 330-350 гамм обусловлена повышенным содержанием здесь тория до 0,03-0,07%.

На участке развития буро-черных налетов вторичного ториевого минерала активность достигает 300-400, местами, при густых налетах, 600-1000 гамм. На более глубоких горизонтах Амударского рудопроявления - в шт. № 4, где видимая урановая минерализация совершенно исчезает, повышенная активность пород до 150-175 гамм связана с присутствием здесь торием в количестве до 0,03%.

Резкое понижение гамма-активности до 6-9 гамм, не характерное вообще для пород Амударского рудопроявления, наблюдалось в скважине № 7 на глубине 175 м, в то время как изменения в характере пород здесь не происходит. Причину указанного явления ввиду отсутствия специальных анализов пока установить не удалось.

Работами Контрольно-методической группы Громовской экспедиции было установлено, что в пределах площади развития вторичного уранового минерала интенсивность гамма-излучения, измеренная с экраном, оказалась больше, чем без экрана.

Последнее было объяснено действием вторичных гамма-лучей, вырываемых из экрана жестким излучением ториевого ряда.

На Амударском рудопроявлении бросается в глаза весьма высокая относительная гамма-активность пород (количество гамма на 0,01%), величина которой составляет от 80-100 и достигает 200-300 гамм. Одна из причин этого заключается в том, что пространственное распределение содержания в породах рассеянного урана и тория очень неравномерно и не приурочено к выдержаным структурам, поэтому на гильзу радиометра в любой точке штольни воздействует изучение всех стенок выработки.

Подтверждением этого является и форма корреляционного графика, изображающего зависимость гамма-активности пород от содержания в них урана (рис. № ).

Как видно из рисунка, осевые линии трех ветвей этого графика не проходят через начало координат, т.е. при полном отсутствии урана в пробах активность все же достигает величины нескольких десятков гамма-единиц.

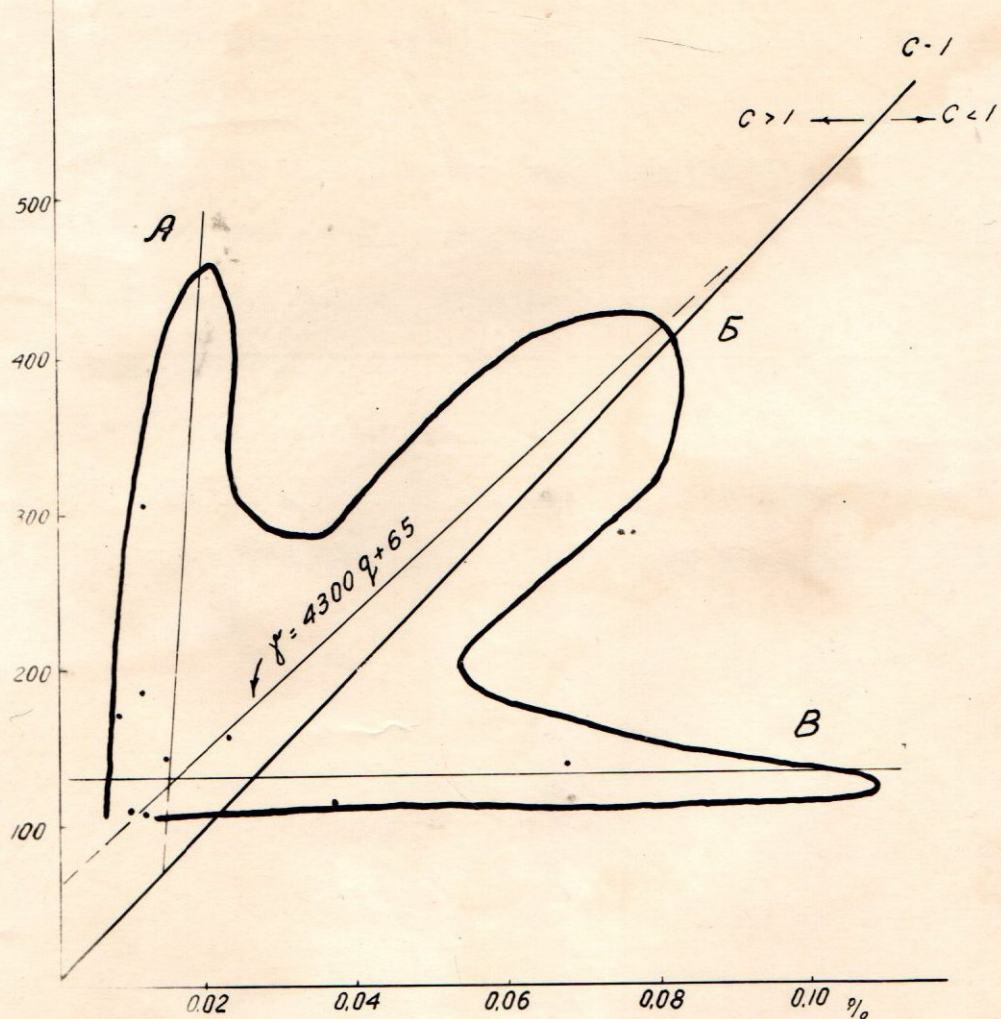
Анализ корреляционного графика позволяет сделать заключение о существовании трех основных типов распределения радиоактивных элементов в породах Амударского рудопроявления.

Первый тип (ветвь "А") - это участки с преобладанием тория, а также частично радия при недостатке урана

Второй тип (ветвь "Б") - это участки с преимущественно урано-радиевым оруденением, близким к равновесию.

Третий тип (ветвь "В") - это участки развития слюдок, где гамма-активность пород мало зависит от содер-

Амурское проявление урана  
корреляционный график гамма-активности  
и содержания У по штолле № 3



Составил Панчулая В.В.

Рис. № 7

кания урана в пробах, поскольку тончайшие примазки слюдок создают слабое гамма-излучение, тем более, что равновесие в них обычно сдвинуто в сторону недостатка радия.

Контрольно-методической группой на Амурском рудопроявлении были проведены измерения гамма-активности пород со свинцовым щелевым экраном. При этом выяснилось, что ослабление регистрируемой интенсивности излучения при надетом экране с открытой целью составляет в среднем 70-75% по отношению к той же величине без экрана, при неизмененном положении гильзы.

Следовательно та часть породы, к которой приложена гильза, создает всего лишь около 25-30% всего регистрируемого излучения, что еще раз указывает на рассеянный характер радиоактивного оруднения Амурского рудопроявления, поскольку остальная доля получается за счет других стенок выработки.

## 2. Эманационная с'емка

При поисковых работах в масштабе 1:2000 на Амурском рудопроявлении была проведена детальная эманационная с'емка по сетям 20 х 2 и 40 х 2 м. С'емка была проведена вначале по 10 профилям, а затем дополнительно еще по 16 профилям. Кроме того, по трем профилям были проведены контрольные эманационные измерения группой внедрения ВИРГа под руководством Н.Н.Сочелапова и по шести профилям контрольно-методической группой Громовской экспедиции.

На основании первичной обработки и обобщения материа-

ла, полученного при эманационной с'емке, предполагалось, что на некоторых участках Амурского рудопроявления (например, около шт. № 3 и около шурфа № 10) присутствует только торон, а в других пунктах (около шурфов № 12, 34, 35) - только радон.

Однако, такое предположение не нашло удовлетворительного геологического об'яснения, так как петрографические и структурные условия в указанных пунктах одинаковые.

Последующая обработка материалов эманационной с'емки и расчеты по уточненным формулам показали, что аномалии, рассматривавшиеся в качестве чисто радоновых, фактически содержат также и торон. Поэтому предположение об исключительном распространении на отдельных участках только одной из эманаций следует считать ошибочным.

На самом деле, в газовом ореоле Амурского рудопроявления имеется смесь радона и торона, причем, паряду с многочисленными точками, обладающими смешанной природой активности почвенного воздуха, наблюдаются участки с преобладанием либо радона, либо торона.

Это хорошо доказывается тем, что на участках с явным преобладанием радона встречаются отдельные довольно яркие тороновые максимумы (например, точка с концентрацией  $130 \times 10^7$  "эман" торона к юго-востоку от шурфа № 34, или точка к северо-востоку от шурфа № 12) и, наоборот, на участках с преобладанием торона имеются точки с аномаль-

ним содержанием радона (около шт. № 3, шурфа № 10 и др.) (черт. № ).

Таким образом, смешанная природа активности газовой фазы не вызывает сомнения.

Пространственное распределение и величина радоновых и тороновых аномалий зависит в числе прочих факторов, также от мощности и плотности насосов. Для Амурского рудопроявления является характерным резкое ослабление радоновых максимумов на левом берегу ручья "Лагерный", где рельеф пологе и наносы мощнее, чем на правом берегу ручья.

Так, например, наиболее интересная площадь с аномальным содержанием радона зафиксирована на правом и частично на левом берегах ручья "Лагерный", в районе штолни № 2, шурfov № 12, 22, 34 и 35 и штолни № 1 (черт. № ). Максимальное содержание радона, достигающее 525 эман., обнаружено здесь в пробе, отобранный со дна шурфа № 12, причем многочисленные измерения показали, что ионизационный ток в камере практически совершенно не меняется в течение 5 минут и более, что свидетельствует об отсутствии торона. Устойчивый характер аномалии подтверждается взятием "больших проб" (100-150 качаний насоса СГ-11), не обнаруживших никакого разубоживания концентрации радона. В ряде других точек в пределах той же зоны получены также высокие содержания радона - 100, 187, 250, 386 эман и т.п. Интересно отметить, что прохождение по лево-

му берегу ручья "Лагерный" эманационные профили № 6, 51а и 72 не обнаружили ни одной точки с концентрацией радона выше 70 эман (последнее лишь в одной точке), тогда как на правом берегу, как уже было сказано, имеется целый ряд точек с содержанием 100-200-300 эман (черт. № ). Это явление об'ясняется большой мощностью наносов на левом берегу ручья, причем на глубине около 1,5-2 м залегает довольно мощный (1,5-2 м) слой глины, повидимому экранирующий выход эманации из никелемещих слоев. Правильна есть этого предположения подтверждается результатами эманационных измерений по пройденным на левом берегу ручья "Лагерный" шурфам № 23, 24, 50, 51, 52, 53, возле которых концентрация радона по данным отобранных с поверхности проб не превышает 10 эман, а в пробах, отобранных со дна шурfov (глубина 5-6 м) она достигает 50-80 эман.

Присутствие торона является характерным для газового ореола Амулсарского рудопроявления и легко отмечается в процессе эманационной съемки, хотя и далеко не в равной мере на различных участках. Значительные эманационные аномалии явно торонового характера были зафиксированы в районе устья штолни № 3 и шурфа № 10.

Малая мощность наносов в указанных пунктах является, повидимому, основной причиной обнаружения здесь тороновых аномалий, которые связаны с торием ,

присутствием в породах рудопроявления, но могут быть обнаружены лишь на малой глубине, так как короткая продолжительность жизни торона не дает возможности его распространения более чем на 15-20 см от своего первоисточника.

На основании предварительной обработки результатов эманационной съемки для центральной части Амурского рудопроявления были намечены оси аномалий близширотного простирания.

Как показали дальнейшие работы, такое построение аномальных осей являлось субъективным и неправильно отражало характер газового ореола Амурского рудопроявления, поэтому при последующей обработке материалов эманационной съемки для центральной части Амурского рудопроявления была составлена карта изолиний радона и торона, на которую нанесены все существующие максимумы концентрации радона и торона (черт. № ).

Как видно из чертежа, получившиеся изолинии не дают основания считать достаточно убедительным предположение о широтном протяжении аномалий.

В результате об'ективного подхода к интерпретации данных эманационной съемки широтные радоново-тороновые аномалии были выделены уже как отдельные аномальные участки.

Необходимо отметить, что радоновые аномалии, выявленные эманационной съемкой, приурочены в основном к участкам, где вторичная урановая минерализация залегает

очень близко от поверхности и где наблюдается присутствие значительных количеств радия. В то же время на участках с глубоким залеганием вторичной минерализации и не значительным количеством радия эманационная съемка не дает положительных результатов. Примером этого служит район штолни № 3.

#### Уранометрическая съемка

Проведенная на Амулсарском рудопроявлении уранометрическая съемка подтвердила приуроченность ореола к рудоносным участкам штолен № 2 и 3 (черт. № 1). В районе этих штолен на правом берегу ручья "Лагерный" содержание в наносах достигает  $20-40 \times 10^{-4}\%$ , а местами  $100-127 \times 10^{-4}\%$ .

Уранометрическое опробование донных осадков ручья "Лагерный" показывает наличие длинного "шлейфа" с повышенным содержанием урана, протягивающегося от тех же рудоносных участков на расстояние до 200-300 м.

Опробование сухих логов и уранометрические профили, пройденные по периферии Центрального участка, показали довольно равномерное содержание урана в наносах, колеблющееся в основном в пределах  $3-5 \times 10^{-4}\%$ .

#### 3. Люминесцентные исследования

В процессе проведенной на Амулсарском рудопроявлении люминесцентно-минералогической съемки была произведена детализация тех участков, где были обнаружены люми-

### Люминесцирующие урановые минералы.

Люминесцентной съемкой была охвачена как доступная для исследования обнаженная часть поверхности, так и все выработки, пройденные на рудопроявлении.

Как было установлено в процессе люминесцентных исследований, люминесцирующие урановые минералы, определенные при детальном минерологическом анализе как отенит (с яркой зелено-желтой люминесценцией) и метаторбернит (с умеренной люминесценцией желто-зеленого цвета), наблюдаются в породе с одной стороны по плоскостям мелких трещин любых направлений, где они зачастую ассоциируются с лимонитом, выделяясь на нем в виде отдельных, хорошо образованных пластинок или корочек, состоящих из розетко-видных скоплений чешуек, размером 0,1-0,3 мм (рис. № ) и, с другой стороны, в виде мелкой или крупной, густой или редкой вкрапленности слюдок, а также отдельных скоплений их, размером до 2 см.

Таким образом, в результате люминесцентной съемки было установлено, что распределение вторичных минералов урана довольно не связано с тектоническими трещинами, контуры площади распространения их неправильные, встречаются они как в монолитных породах, так и в зонах дробления любого проогиания, как в сильно, так и в слабо измененных разновидностях пород. На распространение и локализацию вторичных урановых минералов значительное влияние оказывает и физическое состояние пород.

Помимо собственно урановых вторичных минералов в пределах центральной части Амулсарского рудопроявления, а именно в шурфе № 32, был обнаружен уран содержащий минерал - гиалит, представленный стекловатыми бесцветными прозрачными корочками бугорчатого строения, ярко люминесцирующими зеленым цветом. Интенсивность свечения гиалита не всегда была одинаковой в связи с разным содержанием в нем урана, что подтверждилось и первово-люминесцентными анализами, показавшими 0,05-0,3%

В отдалах шурfov, пройденных на левом берегу ручья "Лагерный" при люминесцентной съемке на обломках интрузивных пород и андезитов были встречены светло-желтые и желтые порошковатые налеты, ярко люминесцирующие желтым цветом.

Микрохимическими реакциями в желтом порошке были обнаружены Ca и CO<sub>2</sub>, что позволяет отнести его к кальциту, но первово-люминесцентный анализ кальцита не дал положительных результатов, что говорит об отсутствии в нем урана. Небольшое же количество материала не дало возможности более детально исследовать минерал и определить - за счет чего он люминесцирует.

#### 4. Лабораторные работы

Все порошковые пробы, отбираемые в выработках Амулсарского рудопроявления и показывающие по бета-измерениям содержание эквивалентного металла выше 0,01%, направлялись в центральную геофизическую лабораторию для конт-

Табл. III. . . .

Нр пр и п	Нр пор. проб	Место взятия	Содерн. акв.метал- ла по бе- та-измер.	Содержание по раз- дельному определ.		Содерн. по хим- анализу		Результаты радио- хим.анализа	
				УРАН	ТОРИЙ	УРАН	ТОРИЙ	В гр. Ra	В % ра- диоакт.ра- новески
1. 431		Ит. №2, рас. 4 лев.		0,032	0,027	0,023	0,023	$1,14 \times 10^{-10}$	78
2. 529		ст. 35-34 м	0,057	0,054	0,014	0,068	0,011	-	-
3. 594		Ит. 3, забой 134,9 м	0,041	0,038	0,037	0,06	-	-	-
4. 609		Г. о к с 170,5 м							
5. 613		Ит. 3, рас. 7, лев.							
		ст. 1-2 м	0,075	0,072	0,014	0,015	0,016	-	-
		Ит. 3, рас. 11, забой							
		14,2 м	0,032	0,025	0,034	0,032	0,016	-	-
6. 676		Ит. 4, пр. ст. 250-251 м	0,022	0,018	0,009	0,028	0,01	-	-
7. 694		Ит. 3, лев. ст. 236-237 м	0,043	0,026	0,08	0,063	0,024	-	-
8. 698		Ит. 3, рас. 11, лев. ст.							
		23-24 м	0,068	0,064	Не обн.	0,07	$0,052$	$1,95 \times 10^{-10}$	81
9. 701		Ит. 3, рас. 11, пр. ст.							
10. 705		27-28 м	0,057	0,069	-	0,068	Не обн.	-	-
		Ит. 3, лев. ст. 246-247 м	0,037	0,027	0,048	0,045	0,026	-	-
11. 715		Ит. 3, рас. 12, лев. ст.							
		1-2 м	0,052	0,041	0,051	0,063	0,082	-	-
12. 724		Ит. 3, рас. 12, пр. ст.							
		3-9 м	0,027	0,008	0,114	0,033	0,026	-	-
13. 726		Ит. 3, рас. 12, лев. ст.							
		10-11 м	0,025	0,016	0,048	0,038	0,044	-	-
14. 726		Ит. 3, рас. 12, пр. ст.							
		11-12 м	0,018	0,019	Не обн.	0,022	0,038	-	-
15. 790		Ит. 3, рас. 8, лев. ст.							
		22-23 м	0,046	0,036	0,046	0,067	0,008	$1,77 \times 10^{-10}$	78

17

рольных измерений на установке "Б".

Разница в определении процентного содержания по этим двум измерениям обычно не превышала 0,005%. Таким образом, точность полевых радиометрических измерений прибором СГ-2М и ПР-6 со счетчиком Б-2 для проб с повышенным содержанием урана удовлетворительная.

Для ряда порошковых проб было подсчитано содержание урана и тория по методу раздельного определения, причем во многих случаях фиксируется довольно значительное количество тория. Последнее было подтверждено и химанизом ряда проб (табл. II).

Однако, необходимо отметить, что хорошая сходимость бета-измерений порошковых проб и химанализа на уран в первое время работ зачастую приводила к тому, что химаниз на торий для указанных проб не производился, поскольку совпадение бета-эквивалента с химанализом обычно считается указанием на наличие равновесия урано-радиевом ряду, при отсутствии тория.

Однако, как видно из таблицы II в некоторых случаях упомянутые выводы оказываются неверными. Например, бета-измерение пробы № 715 показывает 0,052% эквивалентного металла, а химанализ этой же пробы дает 0,063% урана. На первый взгляд такая проба обладает урановой природой активности и сдвигом радиоактивного равновесия в сторону урана. Однако, как было установлено последующими анализами, указанная проба обладает смешанной урановой - ториевой природой активности и наряду с ураном со-

держит 0,082% тория.

Как видно из той же таблицы, для некоторых проб (№ 694, 790, 431 и др.) содержание урана по бета-измерениям значительно ниже содержания по химанализу, что следует об'яснить сдвигом радиоактивного равновесия в сторону урана; последнее доказывается и результатами радиохимического анализа согласно которому радиоактивное равновесие в указанных пробах сдвинуто в сторону недостатка радия. Однако, при раздельном определении по методу Шашкиной в этих пробах фиксируется и торий в количестве до 0,023-0,8%, химанализом же устанавливается лишь около 1/3 и меньше указанного количества, остальная часть "тория" в процессе раздельного определения получается, очевидно, за счет радия. В то же время недостаток радия в указанных пробах вызывает сомнение в правильности этого предположения. Указанное явление контрольно-методической группой экспедиции было предположительно об'яснено присутствием в породах Амулсарского рудопроявления избыточного или недостаточного мезотория, не пришедшего в равновесие с последующими продуктами распада ториевого ряда.

Так или иначе, смешанный и сложный состав радиоактивного оруденения Амулсарского рудопроявления сильно снижает эффективность методики раздельного определения, делая ее неприменимой для условий Амулсара.

Как показали исследования порошковых проб, торий в породах Амулсарского рудопроявления присутствует почти повсеместно.

Таким образом, природа радиоактивности Амудсарского рудопроявления устанавливается как смешанная, урано-ториевая

**Б. Результаты радиогидрогеологических исследований Амудсарского рудопроявления**

Для оценки ураноносности Амудсарского рудопроявления здесь проводились радиогидрогеологические работы, заключающиеся в обследовании подземных и поверхностных вод рудопроявления.

Массивные мелкозернистые интрузивные породы рудопроявления, водопроницаемые лишь по трещинам, заключают в себе небольшое количество трещинных вод. Приток вод в выработки происходит в основном в виде капежа, обычно слабого, реже сплошного, расположенного не сплошь, а отдельными пятнами и полосами. Интенсивность капежа колеблется от часто падающих капель и капель-струек до медленно собирающихся капель.

Участки капежа разделены блоками совершенно сухих или слабо влажных пород с отдельными висящими на них каплями. Водоприток в выработки, происходящий в виде медленного просачивания, тесно связан с атмосферными осадками, так как он прекращается через некоторое время после проходки выработки и возобновляется спустя некоторое время после нового выпадения осадков.

Таким образом, результаты наблюдений в подземных вы-

работках показывают, что описываемое рудопроявление на глубоких горизонтах содержит неравномерно распределенные трещинные воды с очень незначительными дебитом.

Что касается поверхностных вод рудопроявления, то это исключительно родники с небольшим, реже значительным дебитом, выходящие из-под делюния, питающиеся в основном за счет атмосферных осадков и в большей своей части пересыхающие в летнее время.

Температура вод низкая - 7-8°, при температуре воздуха 18-20°C. Тип источников в основном нисходящий, за исключением родников № 88, 89 и 99, у которых наблюдается восходящие струи за счет местного подпора.

Непосредственно на Амурском рудопроявлении было описано и спробовано 126 водопунктов, из них 12 подземных. Воды, отобранные на рудопроявлении, показали довольно повышенное содержание радона. Так, в водопунктах № 24, 33 и 68 (черт. № ) содержание радона превышает 100 эман, однако, содержание урана , растворенного в водах указанных родников, меньше  $1 \cdot 10^{-5}$  гр/литр и лишь два источника № 22 и 23, показали  $1,3 \cdot 10^{-5}$  гр/литр.

Повышенное содержание радона показали и рудничные воды Амурского рудопроявления. Так, содержание радона в водах штолни № 4 иногда достигает порядка 450-780 эман. Однако, содержание урана в этих водах опять-таки ниже  $1 \cdot 10^{-5}$  гр/литр. Последнее обстоятельство, повидимому, связано с тем, что довольно быстро просачивающиеся атмос-

Ферные воды не успевают растворить в себе значительное количество урана, присутствующего в породах рудопроявления и выносят из пород лишь более легко выщедающийся радий, обусловливая тем самым значительную концентрацию в водах радона.

#### Г. Описание ураноносных и ториеносных участков

В результате вышеописанных детальных поисковых, геолого-геофизических работ еще в 1952 году на Амурсарском рудопроявлении был оконтурен наиболее интересный участок уранового проявления, располагающийся на площади около 200 x 150 м.

В пределах указанного участка горными выработками тяжелого типа и буровыми скважинами производились поиски и разведка урановых руд. В 1952-54 г.г. на участке были пройдены штолни № 1,2,3 (горизонт 2476 м), штолня № 4 (горизонт 2415 м) и буровые скважины № 1,2,3,3бис, 6 и 7.

В результате проходки указанных выработок были подсечены на глубине участки с обильной вторичной минерализацией урана на поверхности и выявлены новые минерализованные участки. Причем, площадь распространения урановогооруденения на горизонте штолен № 2 и 3 оказалась значительно больше, чем на поверхности (черт. № ).

В пределах разведенной площади рудопроявления, на

горизонте штолен № 2 и 3 в настоящее время выявлено около 15 разобщенных участков с вторичной урановой минерализацией, образующей тонкую или крупную, редкую или густую вкрапленность в породе и тонкие или густые примазки по трещинам.

Минерализованные участки, протяженностью 10-20, иногда 50 м, сменяются "пустыми" такой же или большей протяженности (черт. № ).

Ураносочные участки отличаются между собой содержанием урана, размерами, количественным соотношением стенита, метаторбернита и торбернита при аналогичных формах их выделения, характером распределения в породах, зонах и др.

Из указанных 15 ураносочных участков наиболее заслуживающими внимания являются лишь семь.

Ниже приводится их краткая характеристика (черт. № ).

Участок № 1 установлен в приусадебной части штольни № 3. Размеры участка 15 х 5 м. Вторичная урановая минерализация представлена главным образом стенитом, меньше метаторбернитом. Активность пород на участке колеблется от 50 до 275 гамм и, по всей вероятности, создается не только вторичными минералами урана сколько сорбированием радием. Процент радиоактивного равновесия на этом участке местами достигает 365.

Содержание урана на участке по данным 12 бороздовых проб колеблется от 0,006 до 0,011%. Среднее содер-

жение урана на всем участке 0,01%.

Участок № 2 установлен по штольне № 3, рассечкам № 2, 3 шт. № 3 и рассечка № 6 шт. № 2; размеры участка 50 x 25 м. Вторичные минералы урана представлены стенитом, метаторбернитом и, реже, торбернитом. Активность на участке достигает 250-425 гамм. Содержание урана на участке по данным 44 бороздовых проб колеблется от 0,006 до 0,066%. Среднее содержание урана по всему участку составляет 0,025%.

Участок № 3 установлен по штольне № 3, рассечке № 4 шт. № 3 и рассечке № 8 шт. № 2; размеры участка 30x20 м. Вторичные минералы урана представлены стенитом, метаторбернитом и редко торбернитом. Активность пород на участке сравнительно низкая, порядка 125-200 гамм. Содержание урана на участке по данным 21 бороздовой пробы колеблется от 0,006 до 0,041% и в среднем для всего участка составляет 0,02%.

Участок № 4 установлен по штольне № 3 и рассечкам № 6, 7 шт. № 3; размеры участка 23 x 10 м. Вторичная минерализация представлена стенитом, метаторбернитом и торбернитом. С появлением минерализации активность резко возрастает до 100 до 250-350 гамм, в отдельных случаях достигая 450-935 гамм. Последнее за счет сдвига радиоактивного равновесия в сторону радия.

С обильной минерализацией и высокой активностью связано и высокое содержание в породах урана, достигающее в отдельных пробах 0,091-0,113%. Однако, при расчете

среднего содержания урана для всего участка в целом по данным 21 бороздовой пробы получается 0,026%.

В породах участка отмечено и присутствие тория в количестве 0,01-0,012%.

Участок № 5 установлен по штольне № 2 и рассечкам № 1, 2 шт., № 2; размеры участка 50 x 25 м. Вторичная урановая минерализация представлена только отенитом и метаторбернитом. Активность пород на участке повышенная - 200-300 гамм, содержание урана в 39 бороздовых пробах колеблется от 0,005 до 0,05%, последнее лишь в отдельных пробах. Среднее содержание урана для всего участка ниже 0,02%.\*

Участок № 6 установлен по рассечке № 1 шт., № 3 и рассечке № 4 шт., № 2; размеры участка 40 x 20 м, урановая минерализация представлена отенитом и метаторбернитом, редко встречается торбернит. Активность пород на участке колеблется от 150 до 275 гамм. Содержание урана в 20 бороздовых пробах колеблется от 0,01 до 0,132% и в среднем для всего участка составляет 0,028%.\*

Участок № 7 установлен по штольне № 2 и рассечкам № 3, 4 шт., № 2; размеры участка 12 x 12 м. Здесь развита довольно богатая минерализация отенитом, метаторбернитом и торбернитом. Активность пород на участке в общем невысокая 125-150 гамм и только на небольшом интервале (шт. № 2 71-73 м) возрастает до 500-800, а в отдельных точках 1050 гамм; высокая активность вызвана наличием в породах сор-

сированного радия - процент радиоактивного равновесия достигает здесь 510.

Содержание урана на участке, по данным 22 бороздовых проб колеблется от 0,01 до 0,05% и в одной пробе достигает 0,5%. В среднем для всего участка содержание урана составляет 0,03%.

Кроме указанных участков, на горизонте штолен № 2 и 3, в самих штольнях и их рассечках был отмечен ряд минерализованных участков с редкой вкрапленностью урановых слюдок и незначительным содержанием урана только в отдельных пробах, достигающего 0,02-0,03%. Приводить описание последних не имеет смысла, поскольку они совершенно сходны с вышеописанными и очень незначительны по размерам.

В левобережье Центрального участка вторичные урановые минералы наблюдаются очень редко и отмечены лишь в штольне № 1 на 20 и 67 м в виде небольших участков в редкой вкрапленности слюдок.

Штольня № 1 проходилась с целью выяснения наличия и характера уранового оруденения под лавовым покровом, перекрывающим в левобережье ручья "Лагерного" коренные породы интрузии. Однако, как показала проходка штольни № 1, геоморфологическое строение левобережной части Центрального участка (рис. № 1), представляющего собой небольшой куполообразный выступ интрузии, справа дренируемый ущельем р. Лагерного, а слева глубоким древним ущельем, в настоящее время выполненным вулканическими шлаками и лава-

ми четвертичного возраста, не позволяет предполагать здесь скопления ни первичной, ни даже вторичной урановой минерализации, так как условия благоприятствовали здесь постоянному и глубокому проникновению агрессивных вод и воздействию их на **урановую** минерализацию, которая, по всей вероятности выщелочилась ими.

На глубокое проникновение вод указывает и почти полное отсутствие на левобережном участке пирита, отдельные полускисленные зерна которого окружены бурыми разводами водных окислов железа.

Кроме вторичной **урановой** минерализации, в пределах Центрального участка Амурского рудопроявления была выявлена редко встречающаяся торицкая минерализация **тория**, содержащая уран.

Площадь участка с ториевым минералом вытянута по направлению оси штольни № 3 и составляет 28 x 44 м, не ограничиваясь забоем ствола штольни № 3 (черт. № ). Состав указанного вторичного **ториевого** минерала не установлен.

Активность пород на участке довольно высокая - 250-350 гамм, иногда в местах густых налетов минерала 500-600 гамм.

Содержание урана на участке по данным 60 бороздовых проб колеблется от 0,007 до 0,07% и в среднем для всего участка составляет около 0,02%. Содержание **тория** на участке колеблется от 0,02 до 0,52%. Среднее содержание **тория** для всего участка вычислить не представля-

ется возможным, так как химанализ на торий произведен не для всех проб участка.

Как видно из изложенного, в результате поисково-разведочных работ, проведенных на Центральном участке Амурского рудопроявления за период с 1952 по 1954 год, перспективных в промышленному отношении рудных тел не установлено.

На основании полученных за 1952-54 г.г. результатов по Центральному участку рудопроявления подсчитаны ничтожные запасы руды и металла по категории  $C_2$ . Учитывая, что имеющиеся запасы не могут иметь промышленного значения и подсчет производится сугубо ориентировочно, наиболее приемлемым является подсчет среднеарифметическим способом.

Ориентировочный подсчет запасов произведен для тех участков, среднее содержание металла в породах которых превышает 0,02%.

Общие запасы руды и металла подсчитаны на основании планов опробования выработок и приведены в нижеследующей таблице (таб. 2):

Таблица 2

Площадь участ.	Высота участ.	Средн. высота	Удельн. запасы	Запасы в кв. м	в м <sup>3</sup>	в кб.м	содер.	вес ру-руды	в металла	в тоннах	в тн.	в %
----------------	---------------	---------------	----------------	----------------	------------------	--------	--------	-------------	-----------	----------	-------	-----

1	2	1250	40	50000	0,025	2,5	125000	31,2
2	3	600	40	24000	0,028	2,5	60000	12,0

х/ Высота блока принималась равной 1/3 высоты оконтуривающих блок горизонтов.

3.	4	230	40	9200	0,026	2,5	23000	5,9
4.	6	800	40	32000	0,028	2,5	80000	22,4
5.	7	144	40	5760	0,03	2,5	14400	4,3
Итого:		3024	-	120960	-	-	302400	75,8

#### Д. Участок "Северной" га донской аномалии

В 200-250 м к север-северо-востоку от Центрального участка Амурского рудопроявления, на площади около 240 х 260 м эманационной съемкой было установлено повышенное содержание радона в почвенном воздухе, достигавшее 45-50 эман. Паряду с радоном на участке были установлены и отдельные точки, обладающие тороновой природой активности почвенного воздуха с содержанием торона до 20-50 экв. эман (черт. № 1).

Здесь был проведен небольшой обзор геолого-геофизических, горнопроходческих и буровых работ, показавших, что в отличие от Центральной части Амурского рудопроявления, участок "Северной" радионной аномалии сложен в основном слабо измененными, довольно крупнозернистыми кварцевыми монцонитами. Последние по глубине, претерпевая постепенное изменение, переходят в порфироидные гранит-аплиты, слагающие основную часть Амурского рудопроявления.

Гамма-активность кварцевых монцонитов, слагающих описываемый участок, колеблется от 10 до 25 гамм. Содержание урана в напосах по данным уранометрической съемки

ки низкое и не превышает  $5 \times 10^{-4}\%$ .

Участок был вскрыт с поверхности двумя канавами и несколькими шурфами, причем повышения активности пород в них не наблюдалось.

С целью проверки указанного аномального участка на глубину были пробурены скважины № 4 и 5 и из штолни № 4 под участок был пройден квершлаг № 2.

В результате проходки указанных выработок было установлено, что активность пород участка с глубиной несколько повышается до 50–85 гамм, достигая величины, характерной для основного поля Амурского интрузива. В одной точке (скв. № 4 на 67,5 м) гамма-активность резко возрастает до 218 гамм и связана здесь с небольшим локальным гнездом рассеянного урана, создающего концентрацию до 0,029%.

Как на поверхности, так и на глубине в породах аномального участка урановых или ториевых минералов не было обнаружено. Содержание урана в породах участка низкое и по данным бороздовых проб не превышает 0,01%. Барий с ураном в породах участка в количестве до 0,01% почти повсеместно присутствует и торий.

---

Результаты поисковых работ в районе, прилегающем к Амурскому урано-ториевому проявлению

В целях поисков промышленных месторождений в прилегающем к Амурскому рудопроявлению районе и

оценки перспектив его ураноносности в окружающем проявление районе были проведены поисковые работы в масштабе 1:50000 с детализацией отдельных участков в масштабе 1:10.000.

Поисками в районе Амударского проявления была покрыта площадь в 255 кв.км.

Поисковая площадь располагается главным образом к северу, северо-востоку и юго-востоку от Амударского проявления урана, охватывая окрестности курорта Джермук, развалины сел. Зирак и сел. Базарчай (черт. № 1).

В пределы указанной площади входили и три аномальных участка.

Зиракский с максимальным значением 25 гамм;

Кисир-Дагский с максимальным значением 29 гамм;

Джермукский с максимальным значением до 32 гамм, выявленные аэроисками партии № 1а Ферганской экспедиции и подвергнутые наземной проверке при проведении партией поисковых работ.

Ввиду того, что описание геологического строения района Амударского проявления урана полностью охватывает и площадь поисковых работ, то приводить отдельно подробное описание геологического строения площади поисков считаем нецелесообразным. При описании же работ, проводимых на отдельных участках, коротко приводятся основные геолого-структурные элементы этих участков.

В результате поисковых работ, сопровождавшихся гам-

ма-профилированием и эманационной с'емкой были обследованы вулканические породы олигоцена и интрузии верхнегорного миоцена с частичным захватом площадей, покрытых четвертичными лавами; последние имеют обширное развитие и занимают около 70% площади исследованного района.

Гамма-профилирование в районе поисков производилось по всем обнажениям пород.

Район поисков отличается довольно слабой обнаженностью, поэтому маршрутная гамма-с'емка по ущельям и ложкам комбинировалась с площадной гамма-с'емкой в случае наличия отдельных выходов и обнажений.

В результате поискового гамма-профилирования установлено, что активность вулканогенной толщи олигоцена, сложенной в основном породами дипарито-дацитового ряда, колеблется от 15 до 45 гамм, повышаясь на некоторых участках (в частности в липаритах) до 60-100 гамм, в то время, как активность гранодиоритов, сиенитов и других пород интрузии колеблется от 0 до 25 гамм и лишь в отдельных точках достигает 70 гамм; активность же четвертичных лав совершенно ничтожна.

40 кв.км поисковой площади было покрыто эманационной с'емкой, проведенной по сети 100 x 5 и 200 x 5 м.

В результате эманационной с'емки было установлено, что активность почвенного воздуха на исследованной площади колеблется в пределах 2-20 эман. Отдельные аномальные точки в 200-400 эман, связанные с отложениями горячих

чих минеральных источников, выносящих эманации радия, установлены на левом берегу р.Арпа у ванного здания курорта Джермук. Небольшие аномальные участки, обладающие активностью в 100-150 эман., были обнаружены также при исследовании некоторых интрузивных выходов, обнажающихся в районе поисковых работ. Однако, резкое спадение ионизационного тока в камере прибора при 3-минутной экспозиции указывает на ториенную природу активности почвенного воздуха.

Точки, обладающие повышенной активностью, проверялись мелкими горными выработками. Повышенной активности в них обычно не наблюдалось. Содержание урана в бороздовых пробах, отобранных в указанных выработках, не превышало тысячные доли %.

Как указывалось выше, в пределы поисковой площади входили и 3 аномальных участка, выявленные аэроисками отрядом 1а Ферганской экспедиции поисковые работы на этих участках проводились партией согласно общему плану поисковых работ, но с некоторым увеличением детальности и тщательности проходимых работ.

Ниже приводятся результаты работ, проведенных на аэроаномальных участках.

#### Зиракский аномальный участок (черт. № )

Участок охватывает окрестности развалин сел. Зирак в Азизбековском районе Арм.ССР и совпадает с восточным склоном водорадального хребта между верховьем реки Базар-чай и р.Арпа-чай.

Геологическое строение участка довольно простое. Участок сложен покровными туфо-липаратами олигоценового возраста, прорванными интрузией нижнего миоцена.

Интрузивный массив сложен породами диоритового типа, обладающих резко изменчивым составом и структурой.

В тектоническом отношении интрузии рассечены рядом тектонических трещин северо-восточного направления, обычно не показывающих повышенной активности.

Как интрузивный массив, так и толща туфо-липаратов пересекаются дайками порфиритов. Последние своей гамма-активностью не отличаются от активности диоритов.

Гамма-профилирова нием на участке было установлено, что активность диоритового массива колеблется в пределах 10-25 гамм. Туфо-липараты, слагающие кровлю интрузивного массива, обычно обладают более высокой активностью, колебляющейся от 25 до 40 гамма и местами достигающей 50-60 гамм.

Характерно, что повышенная гамма-активность туфо-липаратов наблюдается и на других участках района, где обнаруживаются эти породы.

Проведенная на участке эманационная съемка не дала положительных результатов, активность почвенного воздуха не превышала 15 эман.

На наиболее активных точках участка были пройдены шурфы и канавы.

Наиболее интересен шурф № 91, пройденный на месте, где была установлена повышенная активность туфо-липа-

ритов в 60-80 гамма. Шурфы были вскрыты серые туфо-липариты, повышенная активность которых связана, по данным химанализа бороздовых проб, с содержанием урана 0,006% и тория до 0,01%.

Определение концентрации содержания радона в водных пробах участка показало, что основная часть источников имеет активность от 3 до 30 эман. Источники № 211а и 215 пока зали содержание радона соответственно 83 и 53 эман.

Анализы водных проб на металлы не дали положительных результатов. Просмотр образцов участка на люминесценцию также не дал положительных результатов.

#### Джермукский аномальный участок

В геологическом отношении исследуемый участок характеризуется сравнительно молодой олигоценового времени, вулканогенной фацией, перекрытой позднейшими излияниями лав четвертичного возраста и прорванной интрузией миоцена, сложенной сиенитами и диоритами.

Фон активности интрузивных массивов на описываемой площади обычно не превышает 10 гамм и лишь в отдельных точках достигает 25-30 гамм.

В результате эманационной съемки было установлено, что активность почвенного воздуха на участке колеблется в пределах 2-20 эман в отдельных точках, достигая 200-400 эман. Указанные аномальные точки в 200-400 эман были обнаружены на левом берегу р. Арпа у винного здания курорта Джермук. Детализация участка в масштабе 1:10000 показала, что повышенная активность здесь связана с отло-

жениями горячих минеральных источников, выносящих эманации радия, и после прохождения указанных отложений мелкими горными выработками активность резко падает.

Результаты бороздового опробования горных выработок участка отрицательные, содержание урана в породах участка не превышает первые тысячные доли процента.

Результаты просмотра образцов пород участка на люминесценцию также отрицательные.

Содержание радона в минеральных и пресных источниках участка в общем низкое - до 10-15 эман.

Широкое развитие на джермукском участке базальтовых покровов ограничивает возможность более детальных исследований.

#### Кисир-дагский аномальный участок

Кисир-дагский аномальный участок был установлен воздушной гамма-с'емкой на восточных склонах хребта Кисир-даг, юго-восточнее известного к этому времени Амударского рудопроявления.

Аномальная площадь занимает 15 кв.км и вытягивается от р.Базар-чай до Амударского рудопроявления. На общем фоне активности участка около 10 гамм были выделены 4 участка, характеризующиеся активностью 20-28 гамм.

Восточной границей аномального участка служит р.Базар-чай и базальтовые лавы, слагающие здесь левый и ча-

стъ правый берег реки.

Площадь участка сложена туфо-эффузивами олигоцена и интрузионным массивом п.миоцен. Наиболее ранние породы олигоцена представлены толщей туфориферитов, кверху сменяющихся туфолипаритами.

Наземное гамма-профилирование на участке показало относительно повышенную активность туфо-липаритов олигоцена, достигающую 20-30 гамм. Активность же интрузивного массива, сложенного диоритами, колеблется от 10 до 40 гамм.

На этом участке было пройдено три поисковых эманационных профиля; активность почвенного воздуха в отдельных точках доходила до 50 эман. С целью детализации участка пройдено еще пять профилей по сетке 40 х 2 м, по одному из которых (пр. № 78) выявлены точки с концентрацией радона до 70 эман.

В местах повышенной гамма-активности и высокой концентрации радона в почвенном воздухе были пройдены шурфы и канавы. Указанные выработки показали, что наиболее активные участки приурочены к интенсивно раздробленным и обеленным туфолипаритам в приконтактовой зоне диоритового массива, где гамма-активность пород повышается до 50-100 гамм. Выработки эти были осмотрены ночью с помощью люминесцентным, люминесцирующих урановых минералов при этом не обнаружено.

Содержание урана в бороздовых пробах, отобранных из выработок, пройденных на участке, не превышало 0,014%.

Определение содержания радона в водах источников участка показало, что основная часть источников имеет концентрацию радона от 0 до 15 эман.

Какави-сарский участок Гюмушанского полиметаллического месторождения

Поисковые работы на Какави-сарском участке Гюмушанского полиметаллического месторождения проводились в связи с указанием аспиранта Томского Политехнического института Бабаджаняна А. о выявлении им в ~~середине~~ с указанного участка признаков уранового минерала туимунита.

Амулсарской партией на Какави-сарском участке был проведен небольшой об'ем детальных поисковых работ, выразившийся в обследовании всех имеющихся на участке обнажений и горных выработок, с отбором проб и образцов пород и рудных жил и в сопровождении с детальным и подземным гамма-профилированием.

В геологическом отношении участок сложен главным образом туфовыми и андезитовыми породами, а также породами интрузии, состоящей из габбро-сиенитов и габбро. Туфовые образования участка служат вмещающими породами для нескольких небольших барит-галенитовых жил.

В результате тщательных радиометрических исследований пород и рудных жил как на поверхности, так и в подземных горных выработках, было установлено, что активность пород и барит-галенитовых жил в общем низкая и

составляет 6-9 гамм, лишь в одной точке в андезитах была зафиксирована активность в 12 гамм. При просмотре образцов пород и рудных жил урановых минералов в них не было обнаружено. Лабораторные исследования двух порошковых проб участка дали отрицательные результаты.

II. Локализация оруденения, вещественный состав руд и соображения о генезисе Амурасского рудопроявления

Произведенные на Амурасском рудопроявлении геолого-геофизические работы, как полевые (проходка подземных горных выработок, бурение скважин, гамма-профилирование, люминесцентная съемка), так и лабораторные (геофизические, химические, радиохимические и минералогические) позволяют в настоящее время сделать обобщения и высказать определенное суждение относительно природы активного начала, связи его с соответствующими радиоактивными минералами, а также локализации оруденения.

Рудовмещающими породами Амурасского проявления являются порфировидные гранитаплиты.

Указанные породы, подвергшиеся сильному гидротермальному воздействию, выраженному в серicitизации, пиритизации и окварцевании, кроме радиоактивных, не содержат никаких других рудных минералов, если не считать пирита, наблюдавшегося сравнительно часто в виде тонких прожилков или вкрапленности.

Порфириты, в местами высокой плотности породы уро-

Помимо, а местами высокая активность пород рудопроявления обязана своим происхождением трем элементам: урану, торию и радию, имеющим довольно значительное развитие в породах Центрального участка рудопроявления.

Основным элементом, который на данной стадии изученности Амурского рудопроявления преобладает над остальными и обуславливает всю его ценность, является уран, выраженным в основном вторичными урановыми минералами — отенитом, мэтаторбернитом и торбернитом, характерным для зоны окисления урановых месторождений.

Вторичные минералы урана, установленные при макроскопическом изучении пород и в процессе люминесцентно-минералогической съемки в основном на небольшом правобережном участке, в районе штолен № 2 и 3, на левобережье наблюдаются редко и лишь в штолле № 1.

На поверхности, в пределах обнаженной площади Амурского рудопроявления, по данным люминесцентно-минералогической съемки, вторичная урановая минерализация была установлена на отдельных небольших участках в районе шурфов № 12, 34, 35 и около устья штоли № 3.

Поверхностные участки с обильной вторичной минерализацией были подсечены подземными выработками первого горизонта (2476 м), причем площадь распространения уранового оруденения на горизонте штолен № 2 и 3 оказалась значительно больше, чем на поверхности, а именно

220 x 120 м.

На глубину вторичная урановая минерализация быстро исчезает и на горизонте штольни № 4 (2415 м) и в буровых скважинах, подсечших минерализованные участки первого горизонта на глубине, видимой урановой минерализации совершенно не наблюдается.

В пределах площади своего развития вторичные **урановые** минералы распределены спорадически на отдельных разобщенных друг от друга участках в виде тонкой или крупной, редкой или густой вкрапленности в породе и в виде тонких или густых примазок по трещинам.

Вторичные **урановые** минералы встречаются как в монолитных породах, так и в зонах дробления любого протирания, как в сильно, так и в слабо измененных разностях пород. Распространение и локализация **урановой** минерализации в значительной степени подчинено физическому состоянию пород: в тех случаях, когда минерализация развивается в измененных пористых и пересмешанных породах характерна различного типа вкрапленность; в крепких скальных разностях пород **урановая** минерализация развивается в основном по трещинам отдельности в виде тонких примазок или друзовидных корочек, сложенных чешуйками квадратного габитуса (рис. II), в глинике трещин, выполняющей мелкие и крупные тектонические трещины, вторичные минералы **урана** располагаются подле зеркал скольжения или окружают полукатанные обломки интрузивных пород. В некоторых случаях трещины,

выполненные глинистой трещиной, содержат меньше урановых минералов, чем вмещающие их породы, что, повидимому, следует об'яснить плотностью глины и ее плохой водопроницаемостью.

Такое неравномерное распределение уранового оруденения и избирательная локализация его на отдельных небольших участках, обусловленная во многом физическими свойствами пород, по всей вероятности, есть результат того, что холодные растворы, из которых выпадали вторичные минералы урана, следовали по вдоль каких-то определенных геологических структур, а выбирали себе пути, благоприятные для продвижения.

Необходимо отметить, что из вторичных урановых минералов отенит и метаторбернит развиты в основном в приповерхностных частях участка рудообразования, в то время как на более глубоких горизонтах появляется и торбернит; последний и конечным интервалам штолни № 3 приобретает преобладающее значение (черт. № 1). Источником меди, необходимой для выпадения из растворов торберните, послужил пирит, так как согласно спектральным анализам пирит Амударского рудообразования содержит в себе значительное количество меди.

Такое распределение урановых слюдок в породах рудообразования, очевидно, следует об'яснить тем, что на поверхности и вблизи нее происходит дегидратация торбернита и замещение катиона меди кальцием с образованием метаторбернита и отенита.

Последнее хорошо видно на рис. № , где бахромчатая граница между отенитом и метаторбернитом подтверждает именно замещение одной слюдки другой, а не нарастание их друг на друга.

Однако, указанным путем происходило образование лишь небольшой части метаторбернита и отенита, основная масса которого выпадала непосредственно из растворов после выпадения торбернита. Это хорошо видно на рис. № где ясно заметно, как пластинки торбернита обрастают отенитом по реальным кристаллографическим очертаниям.

Наблюдаемая взаимосвязь между урановыми минералами, формы их выделения и постепенные переходы друг в друга с изменением цвета, химсостава и интенсивности люминесценции позволили выяснить последовательность отложения минералов, отраженную на ниже следующей схеме:

Торбернит	метаторбернит	отенит
Цвет - изумрудно-зеленый	светло зеленый	желтый
Характер люминесценции - не люминесцирует	умеренно люминесцирует зелено-вато-желтым цветом	интенсивно люминесцирует зелено-вато-желтым цветом
Химсостав: Си, (много)	Си, Са (много) Са (меньше)	Са (много)
Показатель преломления: 1,617-1,618	1,619	1,602
Плеохроизм: от синего до зеленого	то же	и желтых тонах

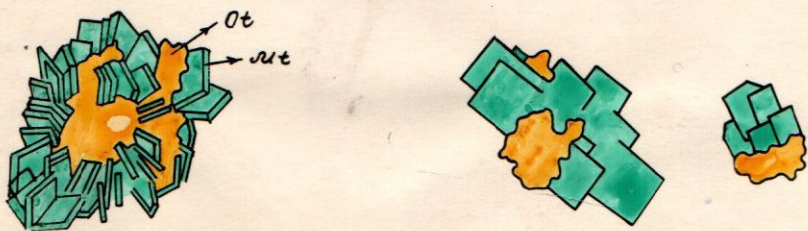


Рис. №8 формы выделений вторичных урановых минералов



Рис №9 Замещение метаторбернита атениитом (в иммерсии)



Рис. №10 Обрастание пластинами торбернита атениитом.

от - отениит.  
лит - метаторбернит

Как видно из схемы, минералы близки по своим физико-химическим свойствам и отличаются в основном катионами. Большое количество меди в торберните обуславливает отсутствие у него люминесценции, в то время как смешанные слюдки обнаруживают умеренное свечение, так как наряду с медью, в них находится кальций и, наконец, яркая интенсивная люминесценция стениита обнаруживается полным отсутствием меди в минерале.

Кроме вторичной урановой минерализации, в пределах Центрального участка Амударского рудопроявления в 1953 г. была выявлена редко встречающаяся и вообще несколько необычная с геохимической точки зрения вторичная ториевая минерализация.

Геолого-минерологическими исследованиями, проведенными с целью выяснения закономерностей в распространении ториевого минерала, было установлено, что ториевый минерал пространственно локализуется вне контуров общей площади развития урановых слюдок, фиксируясь несколько глубже вторичной урановой минерализации — на последних интервалах штолни № 3 (черт. № ).

На указанном участке ториевый минерал распределен спорадически и без определенной закономерности, встречаясь как в тектонических нарушениях (трещинах, зонах), так и за их пределами (черт. № ). Буровато-черный ториевый минерал покрывает, как правило, только плоскости мелких и крупных трещин отдельности в виде тончайших налетов и пленок (рис. № ), развиваясь либо

Рис. 11 Буровато-черные налеты урансодержащего ториевого минерала

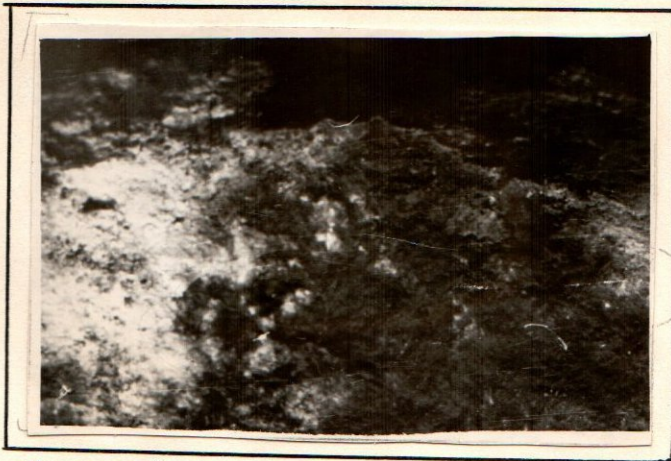


Фото образца №35  
Натуральная величина

Рис. 12 Друзовидные корочки кристаллов  
отенита и торбернита на лимоните.

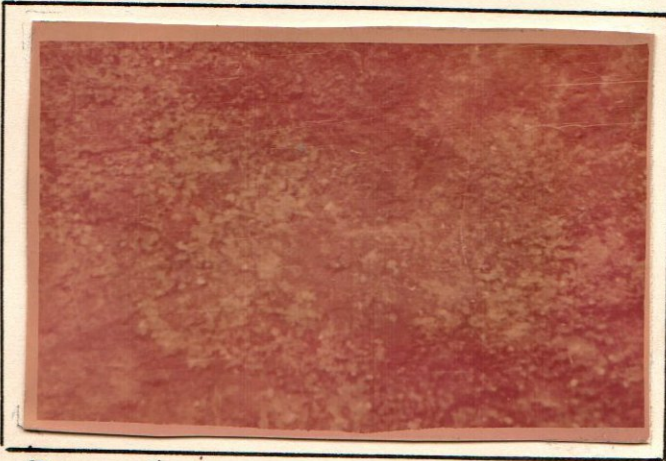


Фото образца №2 увеличение 2х.

непосредственно на вмещающей породе, либо на тонких корочеках пирита, либо, наконец, как бы "пропитывая" рыхлый материал в трещинах.

Характерным признаком налетов ториевого минерала, позволяющим при известном на опыте почти безошибочно отличать его от похожих желтовато-бурых налетов гидроокислов железа, серовато-черных продуктов изменения пирита и серой глиники трения, является коричневое окрашивание породы около ториевого минерала и такой же оттенок самого минерала.

Отделить минерал в чистом виде от вмещающей породы или пирита не удается, в связи с чем лабораторными минералогическим и спектральным анализом подвергался в той или иной степени разубоженный материал.

Результаты комплекса исследований ториевых налетов отображены в таблице ІІ

Таблица ІІ

Название ис- следов.мате- риала	Рез. спектр.	Рез.пер- анализа	Рез.пер- анализа хими- ческого микроло- гического ана- лиза	Раствори- мость в минесцен- ции для об- разцов с короч- ками	% радио-
					растор- имости
Сравнитель- но чистые буровато- черные плеки ториевого минерала.	десятки % целые % десят.до- ли % сотые до- ли % следы -	-3,42% -0,39% -86,0% -0,86% + + = 2,16% -	-3,42% -0,39% -86,0% -0,86% + + = 2,16% -	-от 0,2 до 0,7%	- не раств. - части- но раств. при нагре- вании. - при нагрев. раств.пол- ност.с ос- тат.бесцв. остова.

Как видно из таблицы, содержание тория в налетах довольно значительное, но не отвечает теоретическому количеству тория в собственно ториевых минералах. Например, силикate тория. С одной стороны этот факт можно об'яснить некоторым разубоживанием исследуемого материала за счет имеющих пород, с другой стороны, напрашивается предположение о наличии на участке не собственно ториевого минерала, а какого-то нерудного, содержащего и уран и торий. Точно решить этот вопрос пока не представляется возможным.

В буроато-черных налетах торию повсеместно сопутствует уран и сравнительно постоянное соотношение между двумя этими элементами говорит за одновременное их осаждение из растворов.

Формы же выделения уран содержанию ториевого минерала, его физико-химические свойства и закономерности в распределении определяют на его явно супротивное происхождение.

Как показали радиометрические измерения, породы Амур-сарского рудопоявления обладают сравнительно высокой гамма-активностью в 100-150, местами 300 гамм, даже при полном отсутствии видимой урано-ториевой минерализации. Причина этого заключается в том, что породы рудопоявления содержат неравномерно рассеянные уран, торий и радий, причем пространственное расположение трех указанных элементов очень сложное и во всяком случае не приурочено к определенным структурным единицам.

В рассеянном состоянии уран в породах рудопроявления фиксируется почти повсеместно в количестве до 0,01%, местами, на небольших участках, он образует довольно значительные концентрации (0,02-0,03%) в неустановленном минеральным виде.

Так, например, некоторые бороздовые пробы по штольням №№ 2, 3 и 4 и проба керна скважины № 4 показали до 0,02-0,03% урана, в то время как при просмотре образцов пород этих участков наличия урановых или уран содержащих минералов не было установлено. Кроме того, незначительное количество урана до 0,019% было обнаружено в корочках лимонита некоторых образцов и при перлочно-люминесцентном анализе минералов искусственных шлихов из пород рудопроявления уран был установлен в цирконе в количестве от следов до 0,3%.

Рассеянный торий, как и уран, также устанавливается химаниализом в породах рудопроявления почти повсеместно, в некоторых случаях, в отдельных гнездах, создавая значительные концентрации в 0,03-0,2%.

Для выяснения генезиса рассеянного тория и связи его с определенным минеральным видом пробы, обладающие повышенным содержанием тория были подвергнуты детальному минералогическому исследованию.

Минералогическое изучение богатой торием (0,28%) бороздовой пробы № 90 показало, что максимальное содержание тория (0,66%), согласно химанилизу, приурочено к тяжелой фракции, состоящей на 70% из циркона и сфена,

в то время как все остальные фракции дают почти одинаковое (0,34-0,37%) содержание тория.

Наоборот, согласно спектральному анализу, наибольшее количество тория определено в легкой фракции.

Учитывая эти расхождения, а также тот факт, что для создания активности, которой обладает проба (0,28%), акцессорные минералы, при содержании в них тория 0,66% должны были бы составлять около 50% пробы, надо полагать, что торий связан не только с акцессорными минералами, составляющими лишь 1,5-2% объема всей пробы, а находится в породе в большей своей части в рассеянном виде среди породообразующих минералов или в них самих.

Наконец, последним элементом, оказывющим значительное влияние на гамма-активность пород Амурского рудопроявления является радий.

Радий в породах Амурского проявления распространен крайне неравномерно и содержится, с одной стороны, в самих урановых минералах за счет распада урана и, с другой стороны, наблюдается на отдельных участках без всякой связи с урановой минерализацией.

Радий, связанный с вторичными урановыми минералами, обычно находится в них в количестве, недостаточном для радиоактивного равновесия, что говорит о сравнительно молодости вторичной минерализации.

Это с достаточной достоверностью доказывается результатами радиохимических анализов. Причем, факт сдвига радиоактивного равновесия в сторону урана от 60 до 85%

характерен для глубоких интервалов штолен, в то время как ближе к приустьевым частям процент радиоактивного равновесия увеличивается до 104-134%, а на поверхности (в шурфах) достигает 190-1620%. Исключение из этого правила составляют отдельные гнезда, так например, в штольне № 3 на 22,8 м мы имеем 365% радиоактивного равновесия, при ничтожном содержании урана. В штольне № 2 на глубине 70471 м проба № 366 показывает 75% радиоактивного равновесия, а проба № 266, взятая в 0,5 м от первой, имеет резкий сдвиг равновесия в сторону радия - 510%, отобранная недалеко от этого места (кровля 71 м) штуфная проба № 49 дает снова резкий сдвиг в сторону урана - 28%. Всего это говорит за то, что мы имеем дело с процессом выщелачивания радия из одних мест и адсорбции его близлежащими породами.

Что касается вопроса о характере источника вторичной урановой и ториевой минерализации и возможного генезиса предполагаемых первичныхруд, давших указанную вторичную минерализацию, то, исходя из отсутствия определенного структурного контроля урано-ториевого оруденения на Амурском рудопроявлении, концентрации вторичной урановой и ториевой минерализации на сравнительно небольшой локальной площади, высокой активности пород на участках без минерализации и отсутствия области возможного сноса было сделано предположение о наличии в рассеянном состоянии в породах рудопроявления сравнительно легко растворимого первичного соединения, содержащего и уран

## и торий

С целью изучения указанного вопроса в различных частях Центрального участка Амурского рудопроявления были отобраны пробы и направлены в Тольцовскую экспедицию для производства шлихового анализа.

В результате исследований было установлено, что искусственно шлихи южной Амурского рудопроявления состоят в основном из породообразующих минералов, лимонита, пирита, циркона, гематита, апатита, теленита, титаномагнетита и сфена, причем уран был обнаружен лишь в лимоните в количестве до 0,01% и в цирконе в количестве от следов до 0,3%.

Несмотря на то что такое количество урана в акцессориях южной рудопроявления не могло служить источником довольно обильной вторичной минерализации.

Однако, причиной отрицательных результатов исследований шлихов может быть и довольно глубокое изменение пород рудопроявления гидротермальными процессами, возникшее первичное оруденение и переотложившимися растворившимися в виде вторичной минерализации.

Так или иначе, однозначно решить вопрос генезиса Амурского рудопроявления в настоящее время не представляется возможным, так как предположения о магматическом или гидротермальном происхождении первичных руд Амурского рудопроявления, при отсутствии самих первичных руд и неакционерном распределении вторичных, равносочин.

**ГЛАВА У1. ОСНОВНЫЕ ВЫВОДЫ И НАПРАВЛЕНИЕ  
ДАЛЬНЕЙШИХ РАБОТ**

---

1. Геолого-геофизическими работами на Амуро-Амурском рудопроявлении установлено, что повышенная активность пород рудопроявления своим происхождением обязана трем элементам: урану, торию и радию, при этом наибольшее влияние на активность оказывают торий и радий.

2. Рудопроявление пространственно приурочено к интрузивному массиву и оруденение локализуется в той части его, которая сложена гидротермально измененными серицизированными порфировидными гранитаплитами на общей площади около 0,03 кв.км.

3. Оруденение фиксируется на Центральном участке рудопроявления в виде смешанных урано-ториевых руд, представленных, во-первых, вторичной урановой минерализацией в виде фосфорно-кальциево-медных слюдок - отенита, метаторбернита и торбернита, во-вторых, вторичной ториевой минерализацией, выраженной налетами урана содержащего ториевого минерала с точно не установленным составом, в-третьих, рассеянным ураном и торием минеральный вид, для которых неясен и, наконец, в-четвертых, устанавливается связь урана и тория с акцессорными минералами - цирконом, сфеном.

4. Кондиционные содержания урана и тория выдерживаются лишь на отдельных небольших разобщенных участках, размером до 2 x 3 м и в отношении промышленного

использования вторичная минерализация Амударского рудопроявления не представляет интереса.

5. Концентрация урано - ториевой минерализации и рассеянных радиоактивных элементов на сравнительно небольшой локальной площади, закономерная пространственная обособленность, в пределах той же площади, с одной стороны вторичной урановой минерализации, с другой стороны - вторичной ториевой минерализации, обусловленная, видимо, различным геохимическим поведением урана и тория в поверхностных растворах, позволяет считать, что вторичные руды Амударского рудопроявления связаны с зоной окисления смешанных первичных урано - ториевых руд.

6. Определенного структурного контроля в локализации урано - ториевого оруденения не наблюдается и роль мелких и крупных тектонических нарушений в отношении возможной концентрации в них на глубине первичных радиоактивных минералов неясна.

Вторичная минерализация урана и тория по существу представляет собой ореол рассеяния около этих структур без признаков их обогащения.

То обстоятельство, что основная минерализованная площадь проявления располагается между двумя мощными северо-западными нарушениями не может служить доказательством связи оруденения с этими структурами, поскольку минерализованные участки располагаются и вне площа-

ди, ограниченной указанными нарушениями, и сами нарушения обычно оруденения не несут.

Таким образом, предположения относительно закономерной или случайной приуроченности ореола вторичной минерализации к структурам почти равнозначны.

7. На данной стадии изученности Амурского рудопроявления не получено необходимого фактического материала для точного обяснения генезиса предполагаемых первичных руд урана. Возможны два варианта: магматическое и гидротермальное происхождение.

В пользу магматического генезиса предполагаемого первичного оруденения в виде акцессорного урано-ториевого минерала говорят: смешанный урано-ториевый характер вторичной минерализации и отсутствие связи с структурными единицами как на поверхности, так и на глубине. Отрицательные же результаты исследования искусственных шлихов из имеющихся пород могут быть обяснены тем, что пробы для протолочек были отобраны в зоне окисления рудопроявления, где первичный минерал, видимо, нацело окислился и растворился. Не исключена возможность переработки магматического урано-ториевого

минерала последующими гидротермальными процессами и переносом урана и тория в виде вторичной минерализации. В этом случае поиски первичных руд в пределах площади гидротермально измененных пород могут не привести к желаемым результатам.

Несколько необычная вторичная минерализация тория указывает и на такие же исключительные геохимические особенности первичного минерала, в частности его сравнительно легкую растворимость, не характерную вообще для ториевых минералов, и возможно низкую температуру его образования. В этом случае вероятен и гидротермальный генезис первичных урано-ториевых руд.

Однозначно решить вопрос генезиса Амулсарского рудопроявления возможно лишь при более детальной глубинной разведке. Как на Центральном участке, так и под лавами и шлаками, перекрывающими его периферию, направив работы с учетом вероятного обнаружения либо магматических, либо гидротермальных первичных урано-ториевых руд.

8. Геолого-геофизические работы на участке "Северной" радионовой аномалии Амулсарского рудопроявления показали его неперспективность в смысле выявления промышленных урановых руд и участок дальнейшего изучения не заслуживает.

9. В результате поисковых работ в районе, прилегающем к Амулсарскому рудопроявлению, заслуживающих внимания, данных не получено.

Выявленные отдельные аномальные участки либо обладают ториевой природой активности, либо связаны с радием, находящимся в отложениях минеральных источников.

10. Наземная проверка аэrorадиометрических аномалий, установленных на поисковой площади партией № 1а Ферганской экспедиции, не дала существенных результатов.

Необходимо отметить, что наземную проверку указанных аномалий производил и отряд № 3а Ферганской экспедиции, также получивший отрицательные результаты.

Ст. геолог партии

*Саруханян*

/Саруханян Э./



1	2	3	4	5	6	7	8	9	10	11	12	13
0.Поиски М:50000		км <sup>2</sup>	-	40	-	255	255	100	-	-	-	295
1.Поиски М:10000		"	-	-	-	3	3	100	-	-	-	3
2.Поиски М:5000		"	-	4,8	-	-	-	-	-	-	-	4,8
3.Минералогич.исследов.	%		-	-	-	-	-	-	100	100	100	100
4.Полев.лабор.работы	"	100	100	100	100	100	100	-	-	-	-	100
5.Опробование керна	"	-	-	-	-	-	-	-	100	100	100	100
6.Сооруж.уточн.вышек	шт.	-	-	-	-	2	2	100	-	-	-	2
7.Сооруж.неуточн.вышек	"	-	2	-	-	-	-	-	-	-	-	2
8.Переноска вышек	"	-	-	-	-	3	3	100	2	2	100	5
9.Планировка плоц.	м <sup>2</sup>	-	-	-	-	120	120	100	-	-	-	120
10.Настил рельс.путей	п.м.	-	701	-	700	700	100	-	-	-	-	1401
11.Провода водопр. труб	"	-	-	-	1300	1300	100	-	-	-	-	1300
12.Сооруж.бассейна	"	-	-	-	-	4	4	100	-	-	-	4
13.Установка финск.домов	дом.	-	6	-	-	-	-	-	-	-	-	6
14.Строительство пекарни	м <sup>2</sup>	-	-	-	-	75	75	100	-	-	-	75
15.Стр.депо электровоза	"	-	-	-	-	25	25	100	-	-	-	25
16.Строит.компрессорной	"	-	100	-	-	200	200	100	-	-	-	300
17. -" - навеса . . . .	шт.	-	-	-	-	150	150	100	-	-	-	150
18. -" - землянок . . . .	шт.	-	4	-	-	-	-	-	-	-	-	4
19.Стр.адания п/контру	"	-	-	-	-	460	460	100	-	-	-	460
20." склада продов. . . .	"	-	-	-	-	200	200	100	-	-	-	200
21." склада ВВ . . . .	"	75	-	-	-	-	-	-	-	-	-	75
22.Строительство бани . . .	"	-	-	-	-	60	60	100	-	-	-	60
23.Строите.столовой и клуба"	-	-	-	-	-	180	180	100	-	-	-	180
24.Сооружение моста . . . %	-	-	-	-	-	100	100	100	-	-	-	100
25.Пров.зелен тропинки . . .	п.м.	-	-	-	1500	1500	100	-	-	-	-	1500
26.Стр.времен.дороги . . .	п.м.	-	2000	-	400	400	100	-	-	-	-	2400
27.Ремонт дороги . . . .	км.	-	1,7	-	9,0	9,0	100	-	-	-	-	10,7
28.Ревизия несторожден.	м-ний	-	7	-	-	-	-	-	-	-	-	7

Начальник Громовской экспедиции

Нач.планового- отдела

Главный бухгалтер

*Чижов*

/Колман В.Е./

*Сафарова* /Сафарова А.С./*д/р/м*

/Аревшатян Р.К./

### ЛИТЕРАТУРА

1. Абих Г.В. - Геология Армянского нагорья. Западная часть. Орографическое и геологическое описание Зап.Кавказа. Отд.географич. общ., XXI, 1889 г.
2. Габриелян А.А.- Третичные отложения Западного Даралагеза. Рукопись, Фонды Ари.ГУ, 1946 г.
3. Демехин А.П. - Минеральные источники Джермук-Хоти-су. Рукопись, Фонды Ари.ГУ, 1949 г.
4. Епремян Н.Л. - Геологическое строение Айоцдерского (Даралагезского) хребта. Рукопись, Фонды Ари.ГУ, 1952 г.
5. Котляр В.И. - Интрузии Даралагеза и Сисиана. Геологическое строение. Интрузии и оруденение Даралагезского и Сисианского районов Арм.ССР. Рукопись, Фонды Ари.ГУ, 1958 г.
6. Кречковский - Геологический очерк западной части Даралагезского уезда ССР Армении (среднее течение р.Ария-чай). Материалы по общей и прикладной геологии, вып.136, 1930 г.
7. Магакьян И.Г. - Основные черты металлогении Сисиана и Даралагеза. Рукопись, Фонды Ари.ГУ, 1946 г.
8. Наффентольц К.Н.- Геологическая карта Кавказа, лист У-36-1У (Даралагезский). Рукопись ИГИ АН Арм.ССР, 1946 г.
9. Паштуля В.В.- Отчет о работе Контрольно-методической группы Громовской экспедиции за 1953 г. Рукопись, Фонды Громовской экспедиции, 1954 г.
10. Рудницкая Л.С.- Отчет о результатах люминесцентно-минералогической съемке на Амусарском проявлении. Рукопись, Фонды Громовской экспедиции.
11. Рудницкая Л.С.- Отчет о минералогических исследованиях на Амусарском гидропроявлении. Рукопись, Фонды Громовской экспедиции, 1953 г.

12. Саруханян Э.Л.  
Казарян М.М.  
Казанчян Ф.А.  
Петоян Г.К.  
Антоян Ш.С.  
Апресян М.С.
- Отчет о результатах работ Центральной ревизионной партии Громовской экспедиции за 1952 г. Рукопись, фонд Громовской экспедиции, 1953 г.
13. Яковлев В.Н.
- Геологическое исследование Даралагеза в Закавказье, Изв. ГГРУ, вып. 32, 1931 г.
- 14.
- Измененные оклорудные породы и их поисковое значение, сборник статей. Труды ВСЕГЕИ, 1954 г.

— : — : — : — : — : —

С П И С О К

рисунков в тексте

1. Обзорная карта юго-восточной части Арм.ССР.
2. Геологический разрез по штольне № 1.
3. Кварцевый монционит.
4. Порфировидный гранитаплит.
5. Серicitизированное плаутилази.
6. Схема обработки проб Амударского рудопроявления.
7. Корреляционный график по штольне № 3.
8. Формы выделений вторичных урановых минералов.
9. Замещение метаторбернита отенитом.
10. Обрастание пластинок торбернита отенитом.
11. Буро-чёрные налёты урансодержащего ториевого минерала.
12. Друзовидные корочки кристаллов отенита и торбернита на лимоните.

-:-:-:-:-:-:-

С П И С О К  
графических приложений

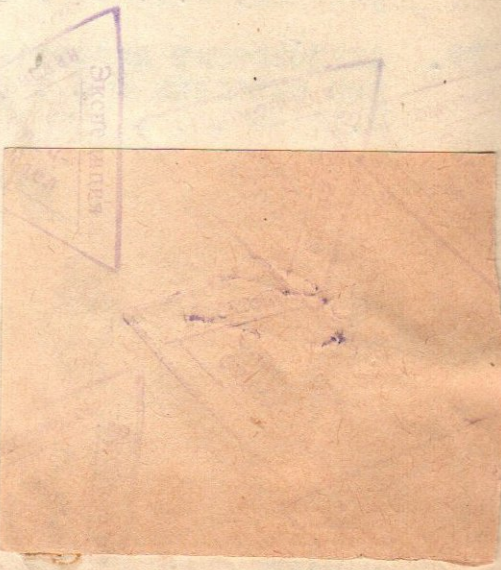
№ пп	Наименование	№ чертеж.
1.	Геологическая карта района работ Амудсарской партии (с результатами поисковых работ), м.1:50.000	1
2.	Амудсарское проявление урана. Схематическая геологическая карта, м.1:5000 . . .	2
3.	Геологическая карта Амудсарского проявления урана м.1:2000 . . . . .	3
4.	Амудсарское проявление урана. Разрезы к геологической карте, м.1:2000 . . .	4
5.	Амудсарское проявление урана. Карта распространения твердых, жидких и газовых ореолов, м.1:2000	5
6.	Амудсарское проявление урана. Геологический план штольни № 1, м.1:500 . . . .	6
7.	Амудсарское проявление урана. Геологический план штольни № 2 и 3, м.1:500 . . .	7
8.	Амудсарское проявление урана. План опробования штольни № 1, м.1:200 . . . . .	8
9.	Амудсарское проявление урана. План опробования штольни № 2, м.1:200 . . . . .	9
10.	Амудсарское проявление урана. План опробования штольни № 3, м.1:200 . . . . .	10
11.	Амудсарское проявление урана. План опробования штольни № 4, м.1:500 . . . . .	11
12.	Амудсарское проявление урана. Геологическая развертка штольни № 1, м.1:100 . . . .	12
13.	Амудсарское проявление урана. Геологическая развертка штольни № 2, м.1:100 . . . .	13
14.	Амудсарское проявление урана. Геологическая развертка рассечек № 1-2 штольни № 2, м.1:100 . .	14
15.	Амудсарское проявление урана. Геологическая развертка рассечек № 3-4 штольни № 2, м.1:100 . .	15
16.	Амудсарское проявление урана. Геологическая развертка рассечек № 5-10 штольни № 2, м.1:100 . .	16

17.	Амударское проявление урана. Геологическая развертка штолни № 3, м.1:100 . . . .	17
18.	Амударское проявление урана. Геологическая развертка рассечек № 1-3 и штр. № 2 шт. № 3, м.1:100	18
19.	Амударское проявление урана. Геологическая развертка рассечек № 2-4 и 6 штр. № 3, м.1:100 . . .	19
20.	Амударское проявление урана. Геологическая развертка рассечек № 7-10 шт. № 3, м.1:100 . . .	20
21.	Амударское проявление урана. Геологическая развертка рассечек № 11-13 шт. № 3, м.1:100 . . .	21
22.	Амударское проявление урана. Геологическая развертка штолни № 4, лист № 1, м.1:100 . . .	22
23.	Амударское проявление урана. Геологическая развертка штолни № 4, лист № 2, м.1:100 . . .	23
24.	Амударское проявление урана. Геологическая развертка квершлага № 2 и рассечки № 1 шт. № 4, м.1:100	24
25.	Амударское проявление урана. Геологическая развертка штреков и ортов шт. № 4, м.1:100 . . .	25
26.	Амударское проявление урана. Геологический разрез скважины № 1 с результатами гамма-кароттака, м.1:100 . . . .	26
27.	Амударское проявление урана. Геологический разрез скважины № 2 с результатами гамма-кароттака, м.1:100 . . . .	27
28.	Амударское проявление урана. Геологический разрез скважины № 3 "бис" с результатами гамма-кароттака, м.1:100 . . . .	28
29.	Амударское проявление урана. Геологический разрез скважины № 4 с результатами гамма-кароттака, м.1:100 . . . .	29
30.	Амударское проявление урана. Геологический разрез скважины № 5 с результатами гамма-кароттака, м.1:100 . . . .	30
31.	Амударское проявление урана. Геологический разрез скважины № 6 с результатами гамма-кароттака, м.1:100 . . . .	31
32.	Амударское проявление урана. Геологический разрез скважины № 7 с результатами гамма-кароттака, м.1:100 . . . .	32
33.	Амударское проявление урана. Зарисовки шурfov, м.1:50 . . . .	33

Sp. Agave, variegata  
Agave americana variegata crevosa  
11<sup>th</sup> (Crisp Locessaggs) male  
Hart Toogood  
J. G. Smith

2<sup>4</sup> N., 54°

Omn. 4913.  
Omn. B. H.  
4.05.55.  
Nov. 15 724.



Сов.секретно

Экз. № 2.

ПРОТОКОЛ

заседания комиссии при Громовской экспедиции Первого  
Главного геологоразведочного управления Министерства  
геологии и охраны недр СССР от 12/У-55г.

Присутствовали: Кошман В.Е. - нач. экспедиции, председатель комиссии  
Кочарян А.Е. - главный инженер экспедиции, член  
комиссии  
Аванесян С.И. - главный геолог экспедиции, член  
комиссии  
Мнацаканян А.Д. - геолог  
Керимов Б.Г. - начальник отряда  
Любоеев В.Н. - геолог  
Твалчелидзе А.В. - ст. инженер по тех. безопасности  
Адамян Э.А. - геолог  
Григорян Г.С. - геолог  
Алиханова Р.И. - зав. геофизич. лабораторией  
Наумовская Р.Я. - геолог  
Казарян М.М. - геолог  
Тосунян Н.Г. - геолог  
Комаров Е.К. - нач. группы поисковых партий  
Ахвердян Б.Г. - начальник партии  
Дашян Р.А. - геолог  
Саруханян Э.Л. - ст. геолог партии

ПОВЕСТКА ДНЯ

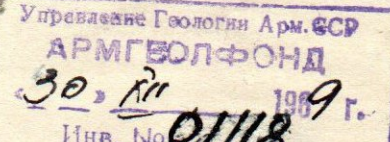
СЛУШАЛИ: "Сводный отчет Амурской поисково-разведочной партии  
по работам за 1952-54 г.г." (Докладчик старший геолог  
партии Саруханян Э.)

На рассмотрение Комиссии представлен отчет в объеме 118 стр. с  
текстовыми приложениями на 157 стр. и картографическим материалом  
на 33 листах.

К отчету приложена рецензия кандидата геолого-минералогических  
наук тов. Цамеряна И.П.

Докладчику заданы следующие вопросы:

1. Является ли вторичная урановая минерализация переотложенной  
или образованной на месте?
2. Каково было влияние интрузии на метаморфизм вмещающих по-  
род?
3. Можно ли определить морфологию массива на основании прои-  
денных горных выработок и буровых скважин?
4. По какому принципу велся подсчет запасов урана?
5. Чем объясняется отсутствие оруденения на глубине?
6. Каков генезис рудообразования?
7. Считается ли окончательно оцененным участок около сел. Зирак?
8. Чем объясняется резкое падение активности по скв. № 7 в по-  
родах, которые активны в других скважинах?



9. Каков анализ результатов радиогидрологических исследований?
10. Что показала уранометрическая съемка?
11. Каковы взаимоотношения контактов двух интрузивных пород?
12. Имеются ли жильные дendirаты в интрузивных массивах на участке Амулсар?
13. За счет чего происходил процесс метаморфизации гранит-аплитов?
14. Достаточно ли пройдено выработок в районе шт. № 3, в смысле изучения участка на глубине?

Затем была прочита на рецензия кандидата геолого-минералогических наук тов. Цамеряна П.П.

По существу доклада выступили:

1. Любоеев В.Н. - Указал, что раздел "Основные черты металлогении района" не соответствует названию.

2. Кочарян А.Е. - Отметил, что по мнению Мелкова В.Г. данный об'ект является уникальным. Он считает, что не все сделано для оценки рудопроявления, так как большая часть поверхности его покрыта плацем четвертичных лав и вулканических шлаков. Дача окончательной оценки практическому значению рудопроявления потребует производства большого объема буровых работ. Помимо того, он отметил, что неполностью изучен участок верховьев реки Зирак. Согласен с выводами, данными в отчете.

Тов. Кочарян А.Е. внес предложение составить специальный каталог всех аномальных участков территории работ Громовской экспедиции, оставшихся незцененными. В этот каталог должны быть включены участки, оценку которых необходимо пересмотреть в свете новых данных, полученных по изучению урановых месторождений.

Предлагает отчет принять с оценкой "хорошо".

3. Кошман В.Е. Отметил, что в связи с чрезвычайно редким типом оруднения, Амулсарское рудопроявление трудно сопоставить с другими об'ектами Союза.

До сих пор генезис рудопроявления неразрешен, также остается нерешенным вопрос о первоисточнике урановой минерализации. Произведенный, сугубо ориентировочный, подсчет запасов ни в коей мере не завышен. Ввиду того, что вопрос о технологии смешанных ураново-ториевых руд пока не разработан, Амулсарское рудопроявление нужно считать не закрытым, а временно консервированным, так как количество руды достаточно для постановки эксплуатационных работ, тем более, что руду можно будет извлекать открытыми разработками.

Полученные отрицательные результаты поисковых работ, произведенных в прилегающих к Амулсарскому рудопроявлению районах, нельзя считать окончательными, так как исследования были недостаточно глубокими.

статочными.

Тов. Кошман В.Е. указал на недостаточную откорректированность отчета и предложил принять его с оценкой "хорошо".

ПОСТАНОВИЛИ: "Сводный отчет Амурской поисково-разведочной партии по работам 1952-54 г.г." принять с оценкой "хорошо".

Председатель Комиссии

*Кошман*

/Кошман В.Е./

Члены Комиссии:

*А.Кочарян*

/Кочарян А.Е./

*Аванесян*

/Аванесян С.И./

Отп. 4 экз.  
печ. В.А.  
17/У № 672.